

Réseaux de neurones
IFT 603

Réseaux à convolution
Par
Pierre-Marc Jodoin

1

kD, 4 Classes, Réseau à 4 couches cachées

Couche d'entrée
Couche cachée 1
Couche cachée 2
Couche cachée 3
Couche cachée 4
Couche de sortie

Couches pleinement connectées
(fully-connected layers)

$$y_w(\vec{x}) = W^{[4]} \sigma \left(W^{[3]} \sigma \left(W^{[2]} \sigma \left(W^{[1]} \sigma \left(W^{[0]} \vec{x} \right) \right) \right) \right)$$

2

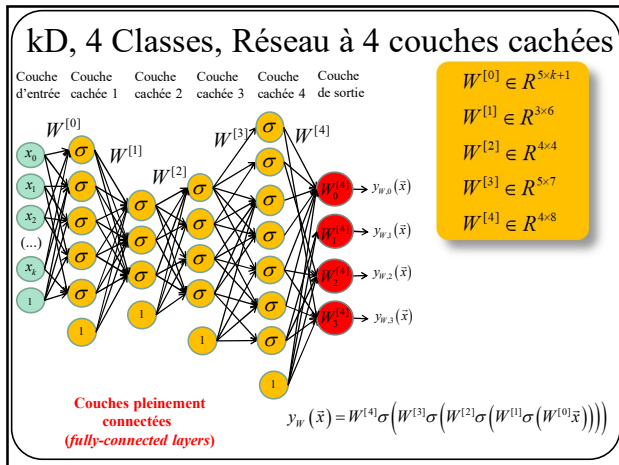
kD, 4 Classes, Réseau à 4 couches cachées

Couche d'entrée
Couche cachée 1
Couche cachée 2
Couche cachée 3
Couche cachée 4
Couche de sortie

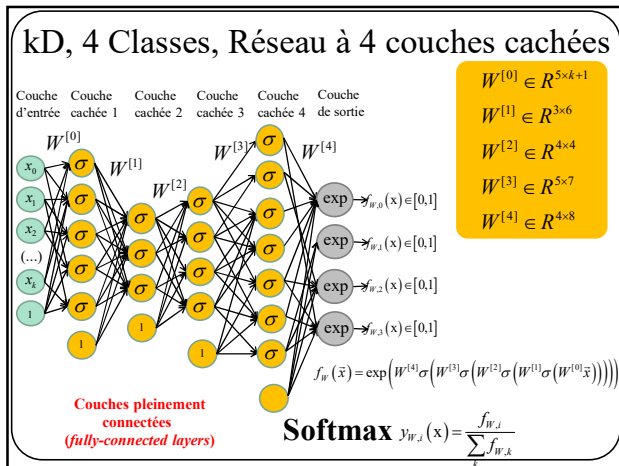
Couches pleinement connectées
(fully-connected layers)

$$y_w(\vec{x}) = \text{softmax} \left(W^{[4]} \sigma \left(W^{[3]} \sigma \left(W^{[2]} \sigma \left(W^{[1]} \sigma \left(W^{[0]} \vec{x} \right) \right) \right) \right) \right)$$

3



4



5

Optimisation

Descente de gradient

$$\mathbf{w}^{[k+1]} = \mathbf{w}^{[k]} - \eta^{[k]} \nabla E$$

↗ Gradient de la fonction de coût
 ↘ Taux d'apprentissage ou "learning rate".

Descente de gradient stochastique

Initialiser \mathbf{w}
 $k=0$
 FAIRE $k=k+1$
 FOR $n=1$ to N
 $\mathbf{w} = \mathbf{w} - \eta^{[k]} \nabla E(\vec{x}_n)$

JUSQU'À ce que toutes les données soient bien classées ou $k = \text{MAX_ITER}$

Optimisation par Batch

Initialiser \mathbf{w}
 $k=0$
 FAIRE $k=k+1$
 $\mathbf{w} = \mathbf{w} - \eta^{[k]} \sum_i \nabla E(\vec{x}_i)$

JUSQU'À ce que toutes les données soient bien classées ou $k = \text{MAX_ITER}$

Parfois $\eta^{[k]} = \text{cst} / k$

6

Les bonnes pratiques

7

Optimisation

Descente de gradient

$$\mathbf{w}^{[k+1]} = \mathbf{w}^{[k]} - \eta^{[k]} \nabla E$$

↗ Gradient de la fonction de coût

↘ Taux d'apprentissage ou "learning rate".

Essentiel
au TP4

Optimisation par **mini-batch**

Initialiser \mathbf{w}
 $k=0$
FAIRE $k=k+1$

FAIRE $n=0$ à N par sauts de $MBS / \text{"Mini-batch size"}$

$$\mathbf{w} = \mathbf{w} - \eta^{[k]} \sum_{i=n}^{n+MBS} \nabla E(\vec{x}_i)$$

} Itération

JUSQU'À ce que toutes les données soient bien classées ou
 $k=\text{MAX_ITER}$

8

Optimisation

Descente de gradient

$$\mathbf{w}^{[k+1]} = \mathbf{w}^{[k]} - \eta^{[k]} \nabla E$$

↗ Gradient de la fonction de coût

↘ Taux d'apprentissage ou "learning rate".

Optimisation par **mini-batch**

Initialiser \mathbf{w}
 $k=0$
FAIRE $k=k+1$

FAIRE $n=0$ à N par sauts de $MBS / \text{"Mini-batch size"}$

$$\mathbf{w} = \mathbf{w} - \eta^{[k]} \sum_{i=n}^{n+MBS} \nabla E(\vec{x}_i)$$

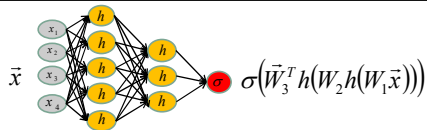
} Epoch

JUSQU'À ce que toutes les données sont bien classées ou
 $k=\text{MAX_ITER}$

9

Mini-batch = **vectorisation** de la
propagation avant et de la rétro-
propagation

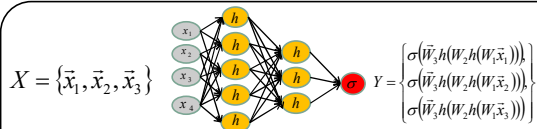
10



Propagation avant pour un réseau à 2 couches cachées (7 étapes)

Étape 2	\vec{x}	$\in \mathbb{R}^4$
	$W_1 \vec{x}$	$\in \mathbb{R}^5$
	$h(W_1 \vec{x})$	$\in \mathbb{R}^5$
	$W_2 h(W_1 \vec{x})$	$\in \mathbb{R}^3$
	$h(W_2 h(W_1 \vec{x}))$	$\in \mathbb{R}^3$
Étape 6	$\vec{W}_3^T (h(W_2 h(W_1 \vec{x})))$	$\in \mathbb{R}$
	$\sigma(\vec{W}_3^T (h(W_2 h(W_1 \vec{x}))))$	$\in \mathbb{R}$

11



Propagation avant pour un réseau à 2 couches cachées (7 étapes)

POUR i allant de 0 à 2

$\vec{x} = X[i]$	$\in \mathbb{R}^4$
$W_1 \vec{x}$	$\in \mathbb{R}^5$
$h(W_1 \vec{x})$	$\in \mathbb{R}^5$
$W_2 h(W_1 \vec{x})$	$\in \mathbb{R}^3$
$h(W_2 h(W_1 \vec{x}))$	$\in \mathbb{R}^3$
$\vec{W}_3^T (h(W_2 h(W_1 \vec{x})))$	$\in \mathbb{R}$
$Y[i] = \sigma(\vec{W}_3^T (h(W_2 h(W_1 \vec{x}))))$	$\in \mathbb{R}$

Solution
naïve et peu
efficace

TP3

12

Solution

Il est plus efficace d'effectuer **UNE multiplication matricielle** que **PLUSIEURS multiplications matrice-vecteur** (exemple de la 2^e étape, batch de 3)

$$\begin{aligned}
 W_1 \vec{x}_1 &= \begin{pmatrix} w_{11} & w_{12} & w_{13} & w_{14} \\ w_{21} & w_{22} & w_{23} & w_{24} \\ w_{31} & w_{32} & w_{33} & w_{34} \\ w_{41} & w_{42} & w_{43} & w_{44} \\ w_{51} & w_{52} & w_{53} & w_{54} \end{pmatrix} \begin{bmatrix} a \\ b \\ c \\ d \end{bmatrix} = \begin{bmatrix} u_1 \\ u_2 \\ u_3 \\ u_4 \\ u_5 \end{bmatrix} \\
 W_1 \vec{x}_2 &= \begin{pmatrix} w_{11} & w_{12} & w_{13} & w_{14} \\ w_{21} & w_{22} & w_{23} & w_{24} \\ w_{31} & w_{32} & w_{33} & w_{34} \\ w_{41} & w_{42} & w_{43} & w_{44} \\ w_{51} & w_{52} & w_{53} & w_{54} \end{pmatrix} \begin{bmatrix} d \\ e \\ f \\ g \end{bmatrix} = \begin{bmatrix} v_1 \\ v_2 \\ v_3 \\ v_4 \\ v_5 \end{bmatrix} \\
 W_1 \vec{x}_3 &= \begin{pmatrix} w_{11} & w_{12} & w_{13} & w_{14} \\ w_{21} & w_{22} & w_{23} & w_{24} \\ w_{31} & w_{32} & w_{33} & w_{34} \\ w_{41} & w_{42} & w_{43} & w_{44} \\ w_{51} & w_{52} & w_{53} & w_{54} \end{pmatrix} \begin{bmatrix} h \\ i \\ j \\ k \end{bmatrix} = \begin{bmatrix} z_1 \\ z_2 \\ z_3 \\ z_4 \\ z_5 \end{bmatrix}
 \end{aligned}$$

TROIS multi. matrice-vecteur

13

Solution

Il est plus efficace d'effectuer **UNE multiplication matricielle** que **PLUSIEURS matrice-vecteur** (exemple de la 2^e étape, batch de 3)

$$W_1 X = \begin{pmatrix} w_{11} & w_{12} & w_{13} & w_{14} \\ w_{21} & w_{22} & w_{23} & w_{24} \\ w_{31} & w_{32} & w_{33} & w_{34} \\ w_{41} & w_{42} & w_{43} & w_{44} \\ w_{51} & w_{52} & w_{53} & w_{54} \end{pmatrix} \begin{bmatrix} a & d & h \\ b & e & i \\ c & f & j \\ d & g & k \end{bmatrix} = \begin{bmatrix} u_1 & v_1 & z_1 \\ u_2 & v_2 & z_2 \\ u_3 & v_3 & z_3 \\ u_4 & v_4 & z_4 \\ u_5 & v_5 & z_5 \end{bmatrix}$$

UNE multiplication matricielle

14

Solution

Il est plus efficace d'effectuer **UNE multiplication matricielle** que **PLUSIEURS produits scalaires** (exemple de la 6^e étape, batch de 3)

$$\begin{aligned}
 \begin{pmatrix} w_1 & w_2 & w_3 \end{pmatrix} \begin{pmatrix} a \\ b \\ c \end{pmatrix} &= w_1 a + w_2 b + w_3 c \\
 \begin{pmatrix} w_1 & w_2 & w_3 \end{pmatrix} \begin{pmatrix} d \\ e \\ f \end{pmatrix} &= w_1 d + w_2 e + w_3 f \\
 \begin{pmatrix} w_1 & w_2 & w_3 \end{pmatrix} \begin{pmatrix} g \\ h \\ i \end{pmatrix} &= w_1 g + w_2 h + w_3 i
 \end{aligned}$$

$$\begin{pmatrix} w_1 a + w_2 b + w_3 c \\ w_1 d + w_2 e + w_3 f \\ w_1 g + w_2 h + w_3 i \end{pmatrix} = Y$$

TROIS produits scalaires

15

Solution

Il est plus efficace d'effectuer **UNE multiplication matricielle** que PLUSIEURS produits scalaires (**exemple de la 6^e étape, batch de 3**)

$$\begin{bmatrix} w_1 & w_2 & w_3 \end{bmatrix} \begin{pmatrix} a & d & g \\ b & e & h \\ c & f & i \end{pmatrix} = \begin{pmatrix} w_1a + w_2b + w_3c \\ w_1d + w_2e + w_3f \\ w_1g + w_2h + w_3i \end{pmatrix} = Y$$

UNE
multiplication
matricielle

16

Conclusion

100% du temps, on combine ensemble les données dans des **mini-batch** de 2 à 32 données.

17

Les réseaux à convolution

18

[illegible]

Comment classifier des images?

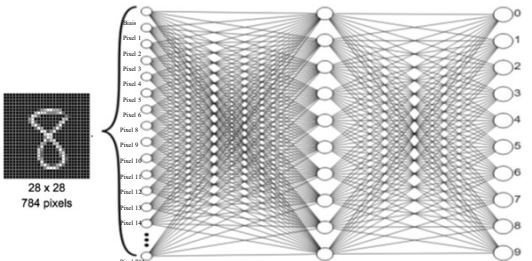
The diagram illustrates a convolutional neural network (CNN) architecture for digit classification. On the left, a 28 x 28 pixel grayscale image of the digit '8' is shown, with a label '28 x 28' and '784 pixels' below it. This input is processed through a series of layers:

- Input Layer:** Labeled 'Pixel 1' through 'Pixel 784'.
- Convolutional Layers:** The first hidden layer consists of 16 filters, labeled 'Filter 1' through 'Filter 16'. The second hidden layer consists of 16 filters, labeled 'Filter 1' through 'Filter 16'.
- Output Layer:** Labeled '0' through '9', representing the possible digits.

The network is fully connected between the input layer and the first convolutional layer, and between the two convolutional layers and the output layer. The output layer is labeled 'Pixel 784' at the bottom.

https://ml4a.github.io/ml4a/tutorial_neuralnet/

Beaucoup de paramètres (7850 dans la couche 1)



28 x 28
784 pixels

Pixel 0
Pixel 1
Pixel 2
Pixel 3
Pixel 4
Pixel 5
Pixel 6
Pixel 7
Pixel 8
Pixel 9
Pixel 10
Pixel 11
Pixel 12
Pixel 13
Pixel 14
Pixel 15
Pixel 16
Pixel 17
Pixel 18
Pixel 19
Pixel 20
Pixel 21
Pixel 22
Pixel 23
Pixel 24
Pixel 25
Pixel 26
Pixel 27
Pixel 28
Pixel 29
Pixel 30
Pixel 31
Pixel 32
Pixel 33
Pixel 34
Pixel 35
Pixel 36
Pixel 37
Pixel 38
Pixel 39
Pixel 40
Pixel 41
Pixel 42
Pixel 43
Pixel 44
Pixel 45
Pixel 46
Pixel 47
Pixel 48
Pixel 49
Pixel 50
Pixel 51
Pixel 52
Pixel 53
Pixel 54
Pixel 55
Pixel 56
Pixel 57
Pixel 58
Pixel 59
Pixel 60
Pixel 61
Pixel 62
Pixel 63
Pixel 64
Pixel 65
Pixel 66
Pixel 67
Pixel 68
Pixel 69
Pixel 70
Pixel 71
Pixel 72
Pixel 73
Pixel 74
Pixel 75
Pixel 76
Pixel 77
Pixel 78
Pixel 79
Pixel 80
Pixel 81
Pixel 82
Pixel 83
Pixel 84
Pixel 85
Pixel 86
Pixel 87
Pixel 88
Pixel 89
Pixel 90
Pixel 91
Pixel 92
Pixel 93
Pixel 94
Pixel 95
Pixel 96
Pixel 97
Pixel 98
Pixel 99
Pixel 100
Pixel 101
Pixel 102
Pixel 103
Pixel 104
Pixel 105
Pixel 106
Pixel 107
Pixel 108
Pixel 109
Pixel 110
Pixel 111
Pixel 112
Pixel 113
Pixel 114
Pixel 115
Pixel 116
Pixel 117
Pixel 118
Pixel 119
Pixel 120
Pixel 121
Pixel 122
Pixel 123
Pixel 124
Pixel 125
Pixel 126
Pixel 127
Pixel 128
Pixel 129
Pixel 130
Pixel 131
Pixel 132
Pixel 133
Pixel 134
Pixel 135
Pixel 136
Pixel 137
Pixel 138
Pixel 139
Pixel 140
Pixel 141
Pixel 142
Pixel 143
Pixel 144
Pixel 145
Pixel 146
Pixel 147
Pixel 148
Pixel 149
Pixel 150
Pixel 151
Pixel 152
Pixel 153
Pixel 154
Pixel 155
Pixel 156
Pixel 157
Pixel 158
Pixel 159
Pixel 160
Pixel 161
Pixel 162
Pixel 163
Pixel 164

0
1
2
3
4
5
6
7
8
9

https://ml4a.github.io/ml4a/tutorial_networks/

Beaucoup trop de paramètres
(655,370 dans la couche 1)

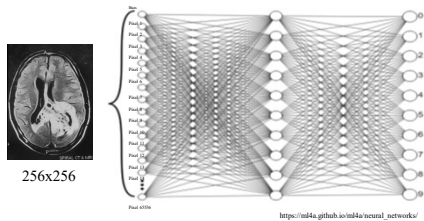


Image médicale (IRM de cerveau)

22

Beaucoup **TROP** de paramètres
(160M dans la couche 1)

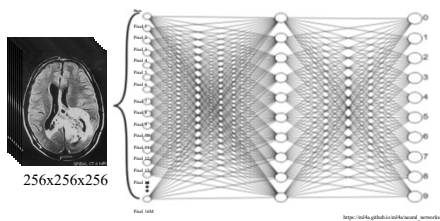


Image médicale 3D (IRM de cerveau)

23

Comment réduire le nombre de connections?

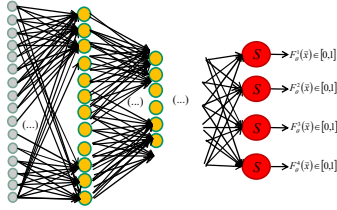


24

24

Comment réduire le nombre de connections?

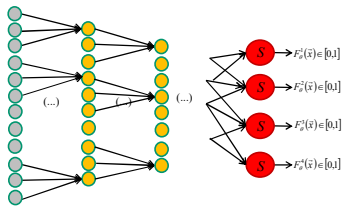
Les **couches pleinement connectées (fully-connected layers)** sont problématiques lorsque le **nombre de neurones est élevé**.



150-D en entrée avec 150 neurones dans la 1ère couche => 22,200 paramètres dans la couche d'entrée!!

25

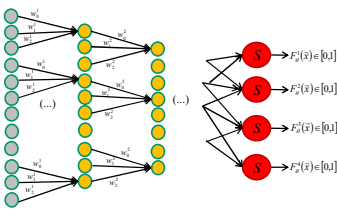
Solution : connexions partielles



150-D en entrée avec 148 neurones dans la 1ère couche => 444 paramètres dans la première couche!!

26

Paramètres partagés : les neurones de la couche 1 partagent les mêmes poids



150-D en entrée avec 148 neurones dans la 1ère couche => 3 paramètres dans la couche d'entrée!!

Faible nombre de paramètres = on peut augmenter la profondeur!

27

Convolution et couche convolutionnelle **1D**

28

Exemple 1D de la convolution

$$(f * W)(v) = \sum_{u=-\infty}^{\infty} f(u)W(v-u)$$

(signal d'entrée)

$f(u)$

$[10 \ 20 \ 30 \ 40 \ 50]$

(filtre)

$W(u)$

$[.1 \ .2 \ .3]$

(filtre)

$W(-6)$

$[.3 \ .2 \ .1]$

$(f * W)(1)$

$[10 \ 20 \ 30 \ 40 \ 50]$
x x x
 $[.3 \ .2 \ .1]$

$3+4+-3$

$[4 \ \] \ \]$

$(f * W)(2)$

$[10 \ 20 \ 30 \ 40 \ 50]$
x x x
 $[.3 \ .2 \ .1]$

$6-6+4$

$[4 \ 4 \ \]$

$(f * W)(3)$

$[10 \ 20 \ 30 \ 40 \ 50]$
x x x
 $[.3 \ .2 \ .1]$

$-9+8+-5$

$[4 \ 4 \ -6]$

29

29

En gros

convolution = **produit scalaire** + **translation**

30

La convolution des réseaux de neurones = corrélation $(f * W)(v) = \sum_{u=-v}^v f(u)W(v+u)$

(signal d'entrée)
f(u)
10 20 -30 40 -50

(filtre)
W(u)
.1 .2 .3

(filtre)
W(+u)
.1 .2 .3

(f*W)(1)
10 20 -30 40 -50
x x x
.1 .2 .3
1+4-9
-4

(f*W)(2)
10 20 -30 40 -50
x x x
.1 .2 .3
2-6+12
-4 8

(f*W)(3)
10 20 -30 40 -50
x x x
.1 .2 .3
-3+8-15
-4 8 -10

31

31

L'opération de la page précédente est équivalente à

32

32

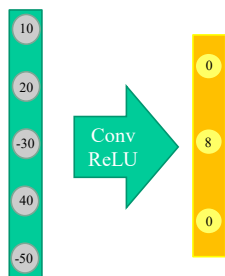
L'opération de la page précédente est équivalente à

Fonction d'activation (ex. ReLU)

33

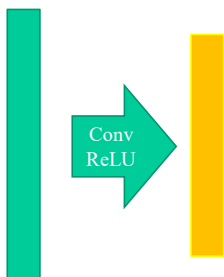
33

Représentation graphique courante (simple)



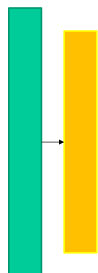
34

Représentation graphique courante (encore plus simple)



35

Représentation graphique courante (vraiment ultra simple)

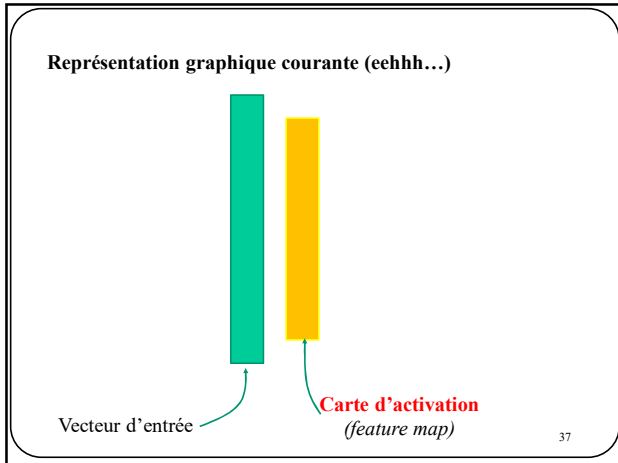


36

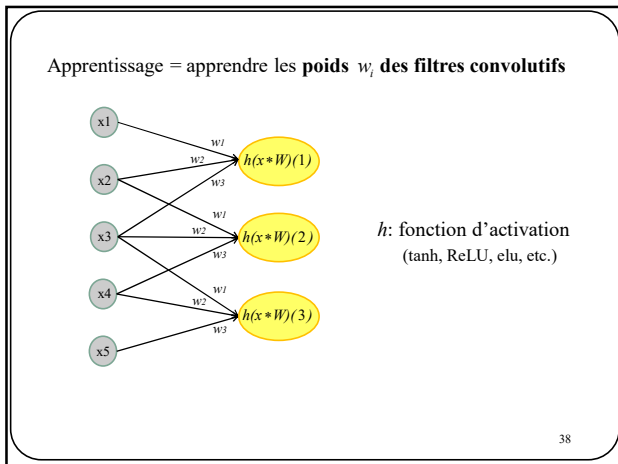
34

35

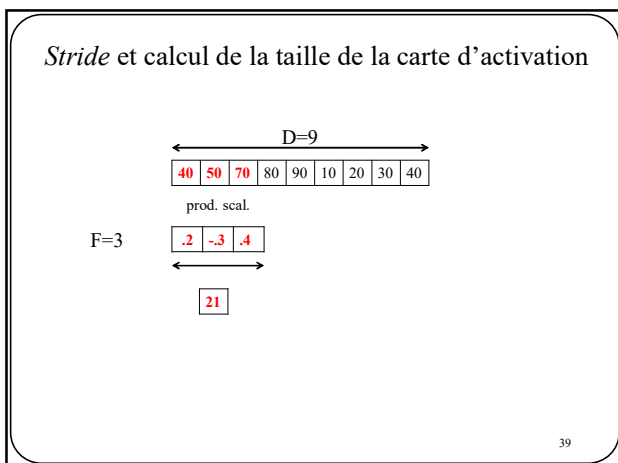
36



37



38



39

Stride et calcul de la taille de la carte d'activation

D=9

40	50	70	80	90	10	20	30	40
----	----	----	----	----	----	----	----	----

prod. scal.

F=3

.2	-.3	.4
----	-----	----

21	21
----	----

Stride = 1

40

40

Stride et calcul de la taille de la carte d'activation

D=9

40	50	70	80	90	10	20	30	40
----	----	----	----	----	----	----	----	----

prod. scal.

F=3

.2	-.3	.4
----	-----	----

21	21	26
----	----	----

41

41

Stride et calcul de la taille de la carte d'activation

D=9

40	50	70	80	90	10	20	30	40
----	----	----	----	----	----	----	----	----

prod. scal.

F=3

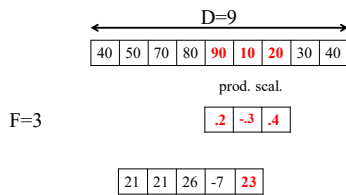
.2	-.3	.4
----	-----	----

21	21	26	-7
----	----	----	----

42

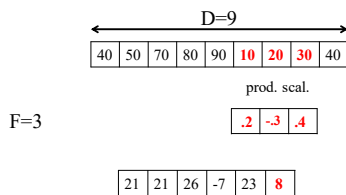
42

Stride et calcul de la taille de la carte d'activation



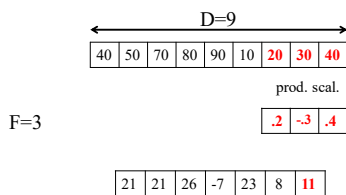
43

Stride et calcul de la taille de la carte d'activation



44

Stride et calcul de la taille de la carte d'activation



Taille de la carte d'activation = 7

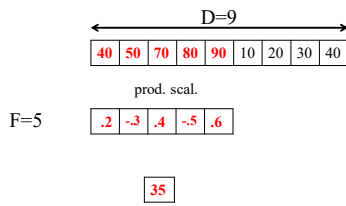
45

43

44

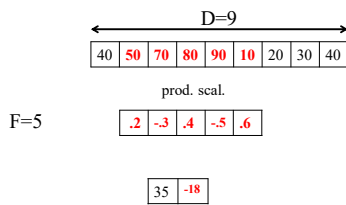
45

Stride et calcul de la taille de la carte d'activation



46

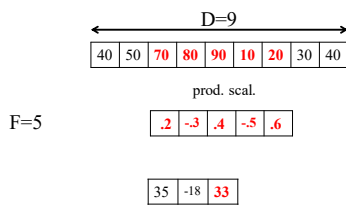
Stride et calcul de la taille de la carte d'activation



Stride = 1

47

Stride et calcul de la taille de la carte d'activation



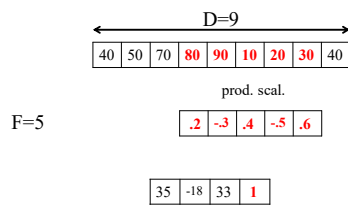
48

46

47

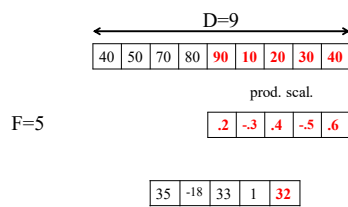
48

Stride et calcul de la taille de la carte d'activation



49

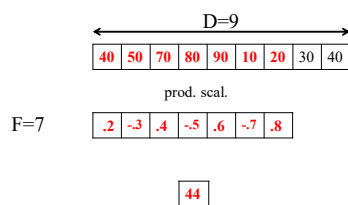
Stride et calcul de la taille de la carte d'activation



Taille de la carte d'activation = **5**

50

Stride et calcul de la taille de la carte d'activation



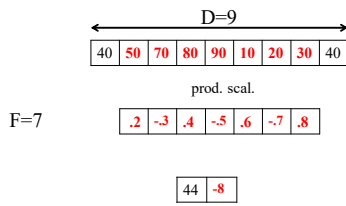
51

49

50

51

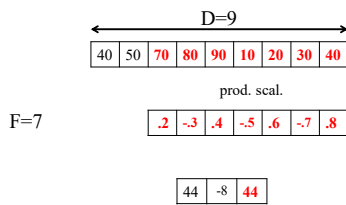
Stride et calcul de la taille de la carte d'activation



Stride = 1

52

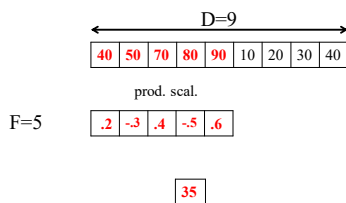
Stride et calcul de la taille de la carte d'activation



Taille de la carte d'activation = 3

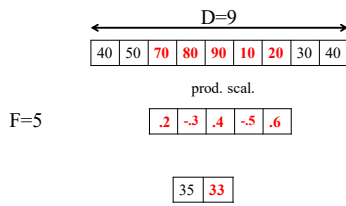
53

Stride et calcul de la taille de la carte d'activation



54

Stride et calcul de la taille de la carte d'activation

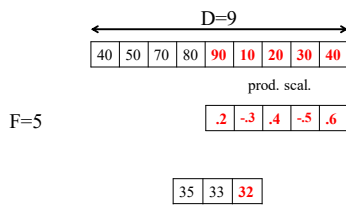


Stride = 2

55

55

Stride et calcul de la taille de la carte d'activation

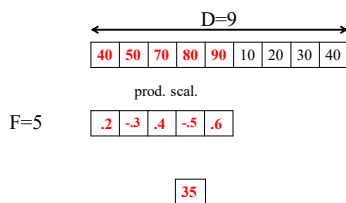


Taille de la carte d'activation = 3

56

56

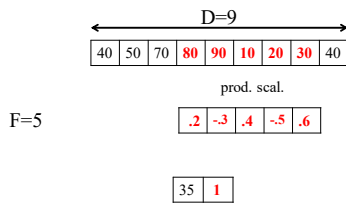
Stride et calcul de la taille de la carte d'activation



57

57

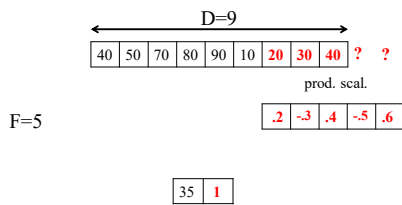
Stride et calcul de la taille de la carte d'activation



Stride = 3

58

Stride et calcul de la taille de la carte d'activation



ERREUR! Combinaison D-F-S invalide

59

Stride et calcul de la taille de la carte d'activation

Taille de la carte d'activation = $(D-F)/S+1$



60

58

59

60

Parfois on souhaite que le **nombre de neurones** dans la carte d'activation soit **le même** que la couche précédente

Comment gérer les bords?

Option 1 : Ajout de zéros (« *zero padding* » remplacer ? par 0)

$f(u)$ $(f^*W)(u)$

$\begin{bmatrix} 0 & 10 & 20 & 30 & 40 & 50 & 0 \end{bmatrix}$ $\begin{bmatrix} 8 & -4 & 8 & 10 & -6 \end{bmatrix}$

Option 2 : Réflexion (« *reflexion padding* »)

$f(u)$ $(f^*W)(u)$

$\begin{bmatrix} 20 & 10 & 20 & 30 & 40 & 50 & 40 \end{bmatrix}$ $\begin{bmatrix} 10 & -4 & 8 & 10 & 2 \end{bmatrix}$

Option 3 : Étirement (« *stretching padding* »)

$f(u)$ $(f^*W)(u)$

$\begin{bmatrix} 10 & 10 & 20 & 30 & 40 & 50 & 50 \end{bmatrix}$ $\begin{bmatrix} 9 & -4 & 8 & 10 & -2 \end{bmatrix}$

61

61

Parfois on souhaite que le **nombre de neurones** dans la carte d'activation soit **le même** que la couche précédente

Comment gérer les bords?

Option 1 : Ajout de zéros (« *zero padding* » remplacer ? par 0)

$f(u)$ $(f^*W)(u)$

$\begin{bmatrix} 0 & 10 & 20 & 30 & 40 & 50 & 0 \end{bmatrix}$ $\begin{bmatrix} 8 & -4 & 8 & 10 & -6 \end{bmatrix}$

Option 2 : Réflexion (« *reflexion padding* »)

$f(u)$ $(f^*W)(u)$

$\begin{bmatrix} 20 & 10 & 20 & 30 & 40 & 50 & 40 \end{bmatrix}$ $\begin{bmatrix} 10 & -4 & 8 & 10 & 2 \end{bmatrix}$

Option 3 : Étirement (« *stretching padding* »)

$f(u)$ $(f^*W)(u)$

$\begin{bmatrix} 10 & 10 & 20 & 30 & 40 & 50 & 50 \end{bmatrix}$ $\begin{bmatrix} 9 & -4 & 8 & 10 & -2 \end{bmatrix}$

De loin l'option la plus utilisée

62

62

Couche convolutionnelle sans « padding »

signal d'entrée

Carte d'activation (feature map)

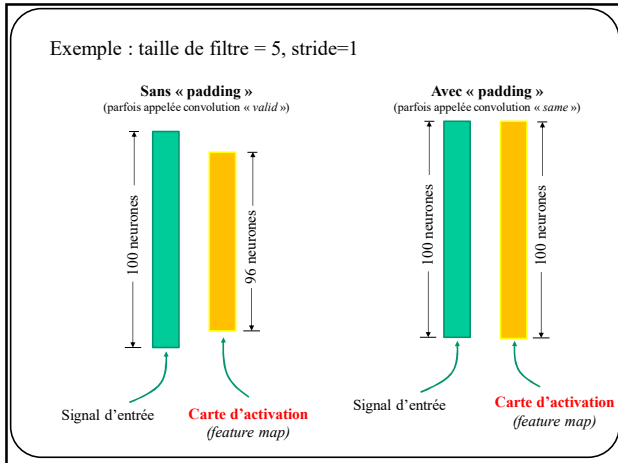
Couche convolutionnelle avec « padding »

signal d'entrée

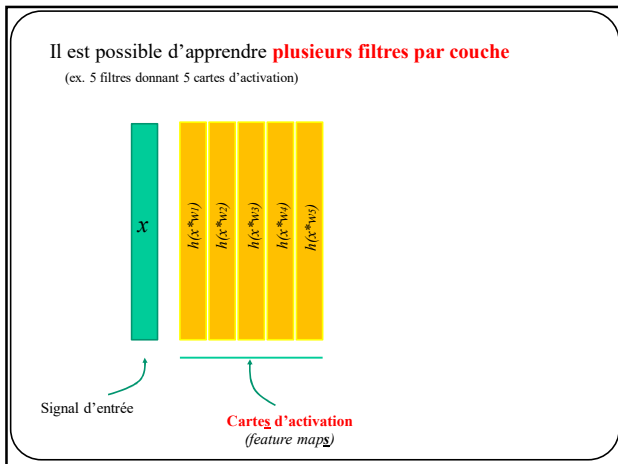
Carte d'activation (feature map)

63

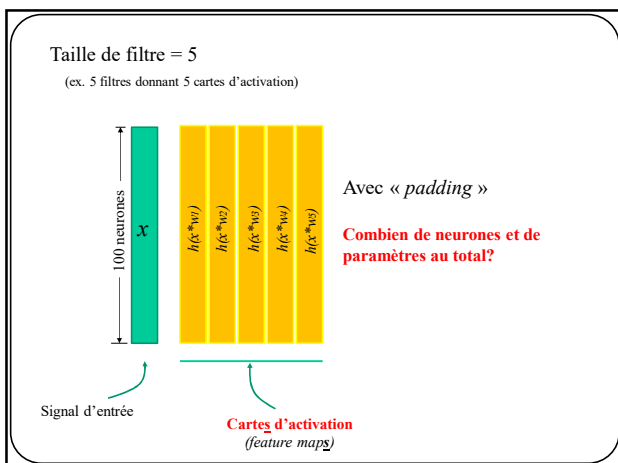
63



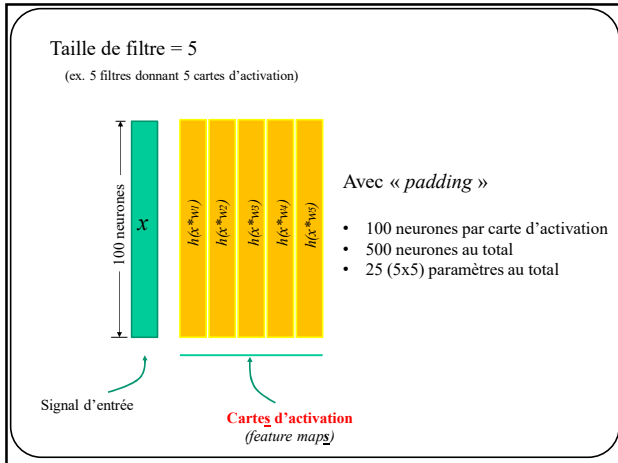
64



65



66



67

Convolution et couche convolutionnelle **2D**

68

Filtage 2D (sans flip de filtre)

$$(x * W)(i, j) = \sum_u \sum_v f(i + u, j + v) W(u, v)$$

$x(i, j)$

$W(u, v)$

w_1	w_2	w_3
w_4	w_5	w_6
w_7	w_8	w_9

$$(x * W)(i, j) = w_1 x(i-1, j-1) + w_2 x(i, j-1) + w_3 x(i+1, j-1) + w_4 x(i-1, j) + w_5 x(i, j) + w_6 x(i+1, j) + w_7 x(i-1, j+1) + w_8 x(i, j+1) + w_9 x(i+1, j+1)$$

69

Convolution 2D

Filtre = 3x3

Stride = 1

7

7

70

Convolution 2D

Filtre = 3x3

Stride = 1

7

7

71

Convolution 2D

Filtre = 3x3

Stride = 1

7

7

72

Convolution 2D

Filtre = 3x3
Stride = 1

73

Convolution 2D

Filtre = 3x3
Stride = 1

Taille de la carte d'activation (pour stride 1) = **5x5**

74

Convolution 2D

Filtre = 3x3
Stride = 2

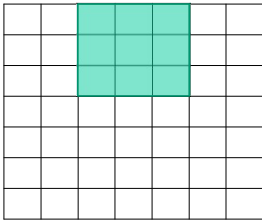
75

Convolution 2D

Filtre = 3x3

Stride = 2

7



7

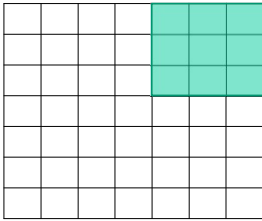
76

Convolution 2D

Filtre = 3x3

Stride = 2

7



7

Taille de la carte d'activation (pour stride 2) = **3x3**

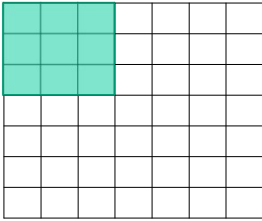
77

Convolution 2D

Filtre = 3x3

Stride = 3

7



7

78

Convolution 2D

Filtre = 3x3
Stride = 3

79

Convolution 2D

Filtre = 3x3
Stride = 2

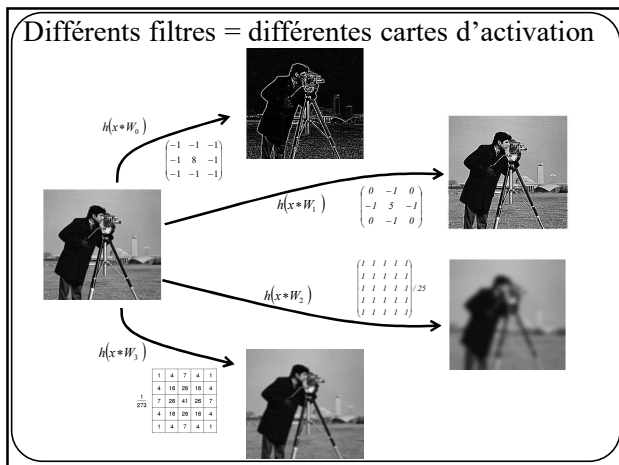
Combinaison D-F-S invalide!

80

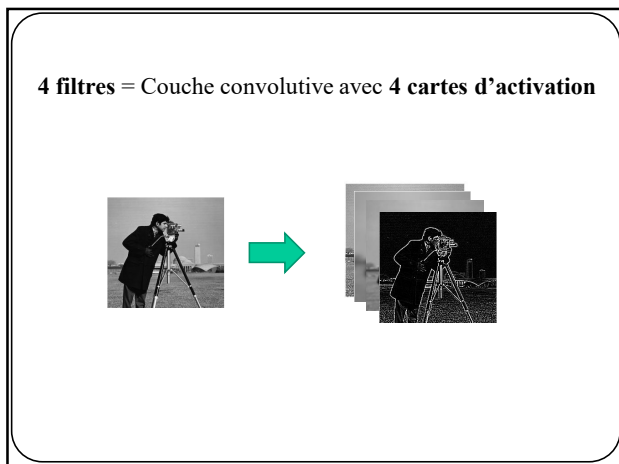
Convolution 2D

Taille de la carte d'activation :
 $(D1-F1)/S+1 \times (D2-F2)/S+1$

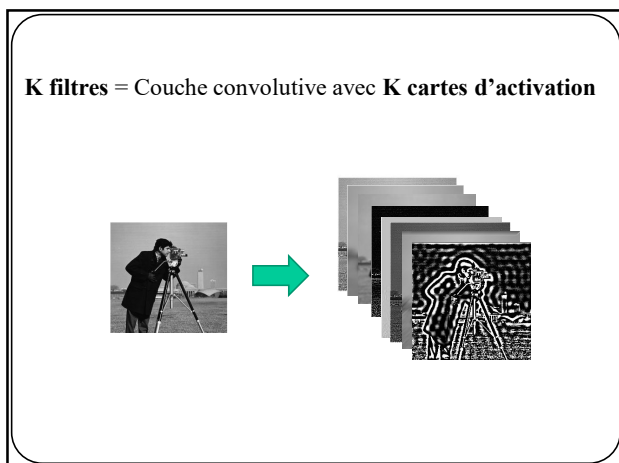
81



82



83



84

Ex.: taille de filtre : 5x5, 5 cartes d'activation, convolution « same »

- 10,000 neurones par carte d'activation
- 50,000 neurones au total
- $5 \times 5 \times 5 = 125$ paramètres au total

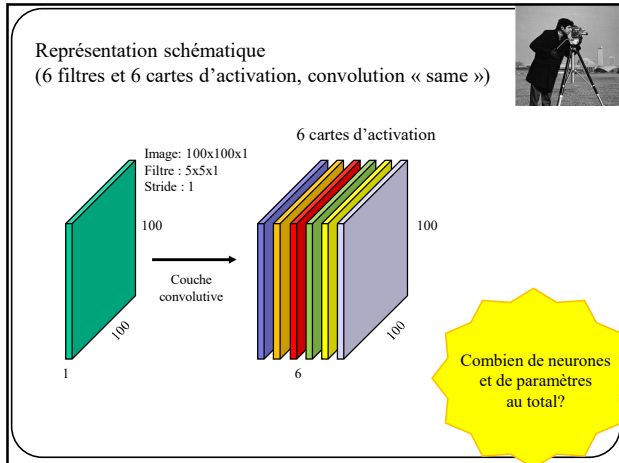
85

Représentation schématique
(1 filtre et 1 carte d'activation, convolution « same »)

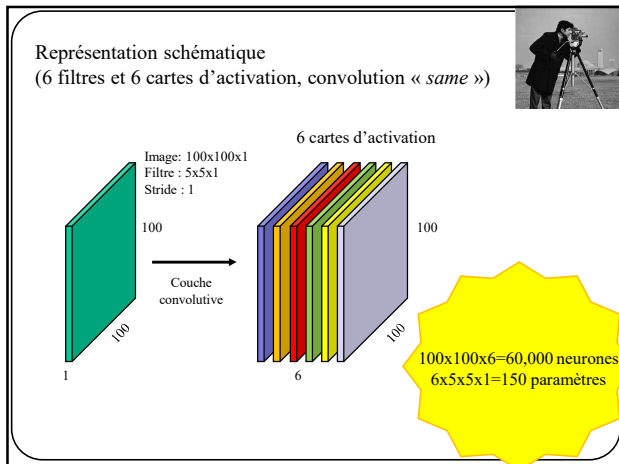
86

Représentation schématique
(2 filtres et 2 cartes d'activation, convolution « same »)

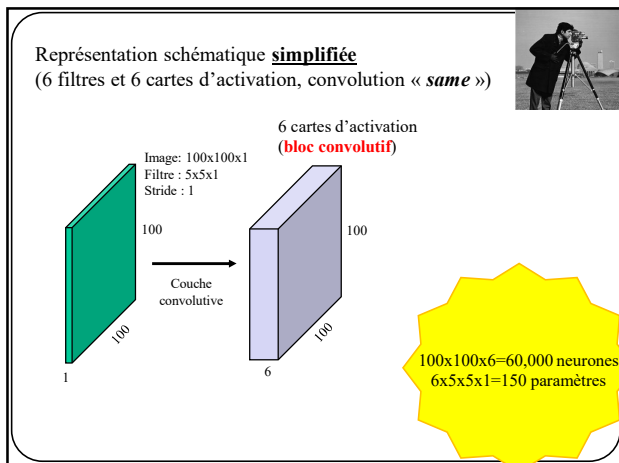
87



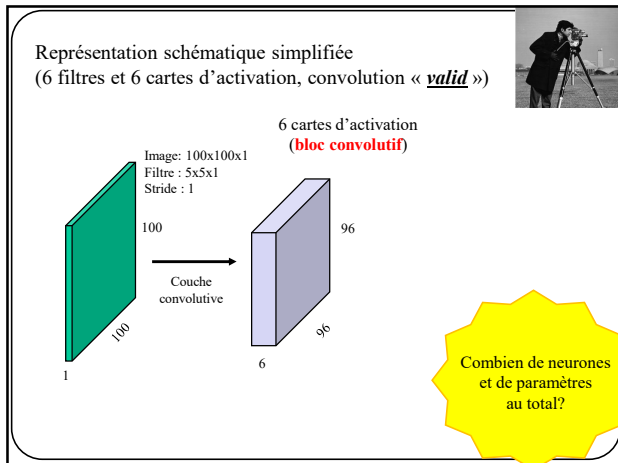
88



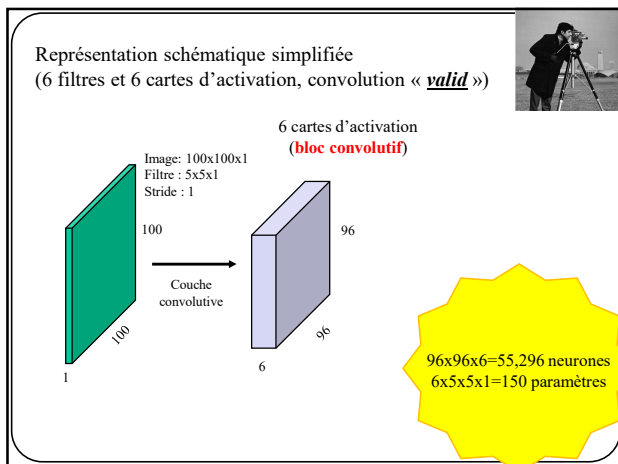
89



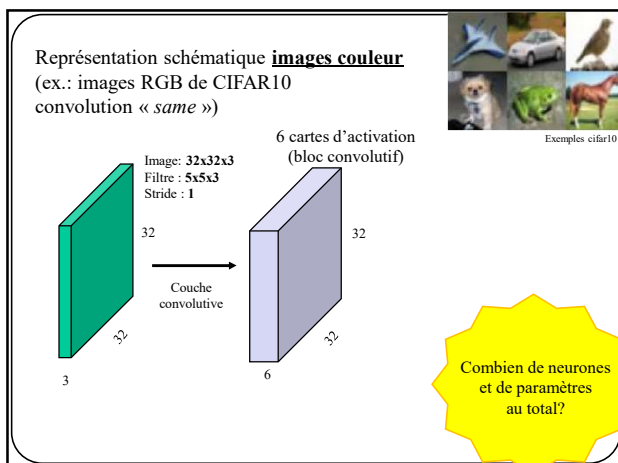
90



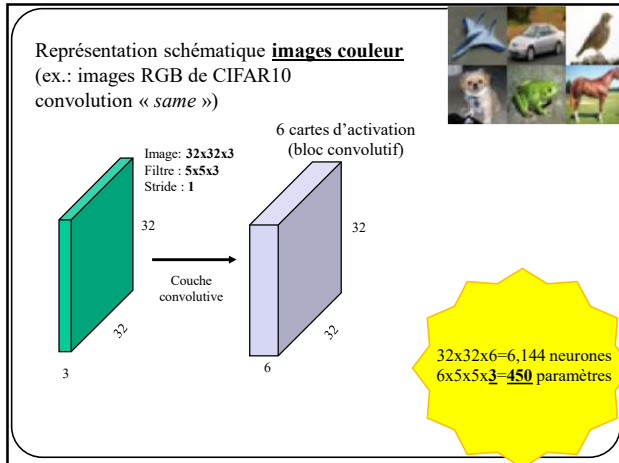
91



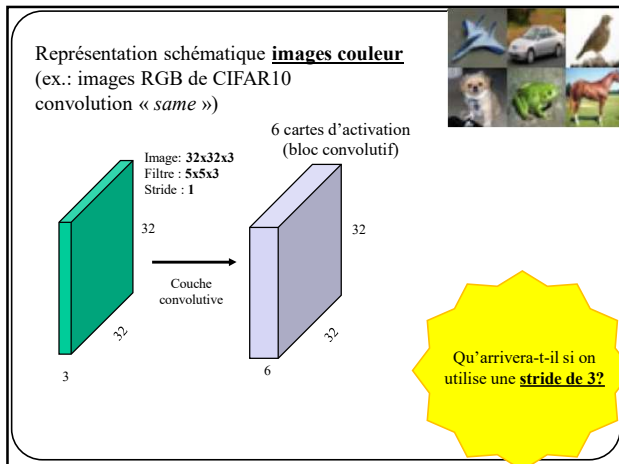
92



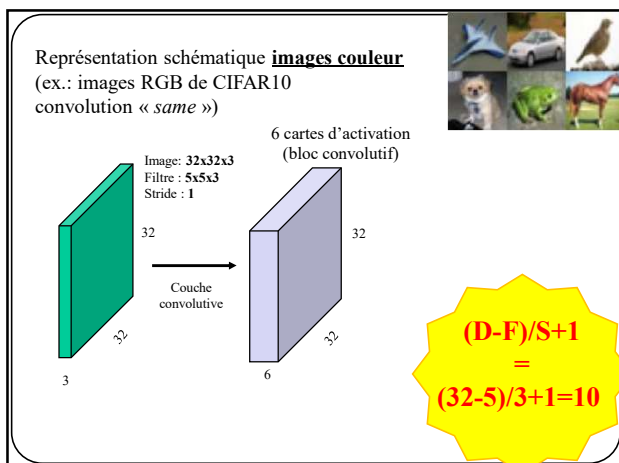
93



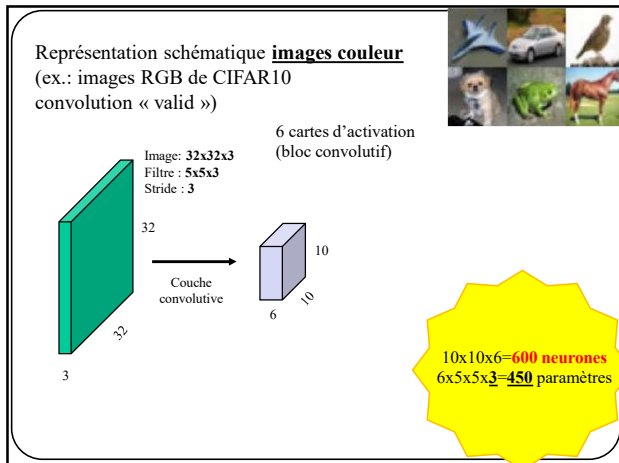
94



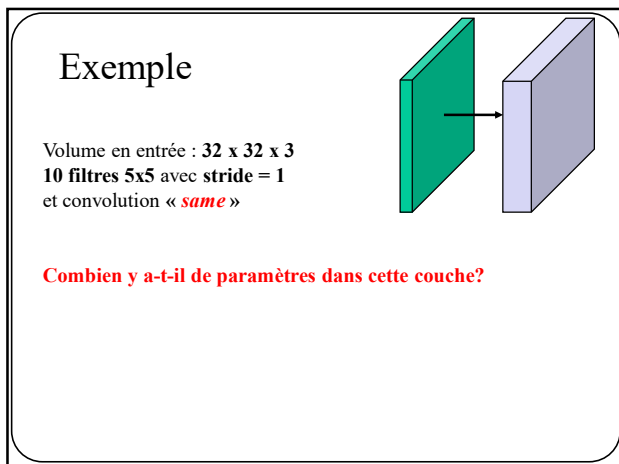
95



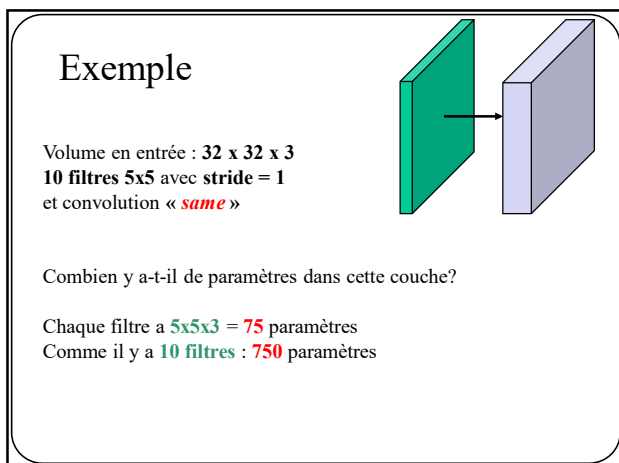
96



97



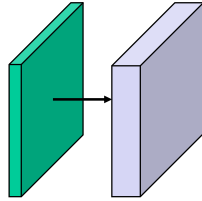
98



99

Exemple

Volume en entrée : $32 \times 32 \times 3$
10 filtres 5×5 avec $\text{stride} = 1$
et convolution « *same* ».



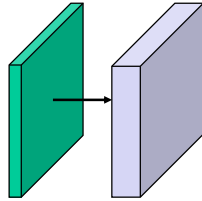
Combien y a-t-il de paramètres dans cette couche **si on ajoute un biais**?

Chaque filtre a $5 \times 5 \times 3 + 1 = 76$ paramètres (+1 pour le biais)
Comme il y a 10 filtres : 760 paramètres

100

Exemple

Volume en entrée : $32 \times 32 \times 3$
10 filtres 5×5 avec $\text{stride} = 1$
et convolution « *valid* »

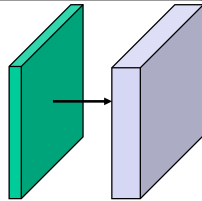


Combien de paramètres dans cette couche?

101

Exemple

Volume en entrée : $32 \times 32 \times 3$
10 filtres 5×5 avec $\text{stride} = 1$
et convolution « *valid* »



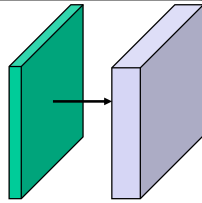
Combien de paramètres dans cette couche?

Même chose, cela ne change pas la conformité des filtres

102

Exemple

Volume en entrée : $32 \times 32 \times 3$
10 filtres 5×5 avec $\text{stride} = 1$
et convolution « *valid* »

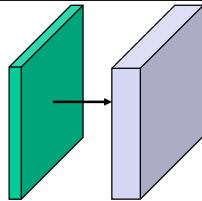


Combien de **neurones** dans les cartes d'activations?

103

Exemple

Volume en entrée : $32 \times 32 \times 3$
10 filtres 5×5 avec $\text{stride} = 1$
et convolution « *valid* »

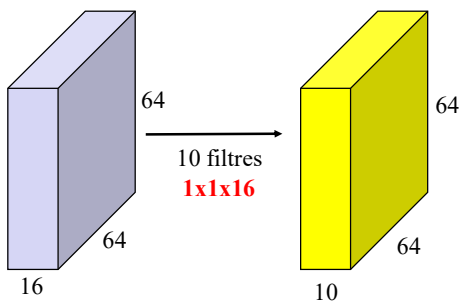


Combien de **neurones** dans les cartes d'activations?

$$(32-5+1) \times (32-5+1) \times 10 = 7,840$$

104

Des filtres 1×1 ? Oui ça marche



105

Exemple simple d'un filtre 1x1



$$\begin{bmatrix} 1 & 1 & 1 \\ 3 & 3 & 3 \end{bmatrix}$$

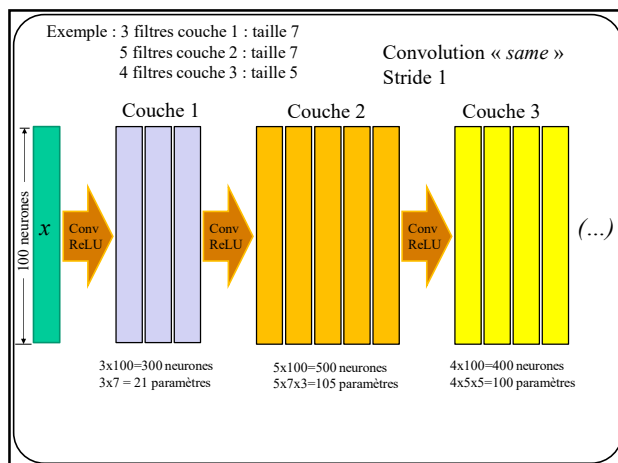


Filtre moyennant les canaux **rouge**, **vert**, **bleu** d'une image couleur.
Résultat, une image en niveau de gris.

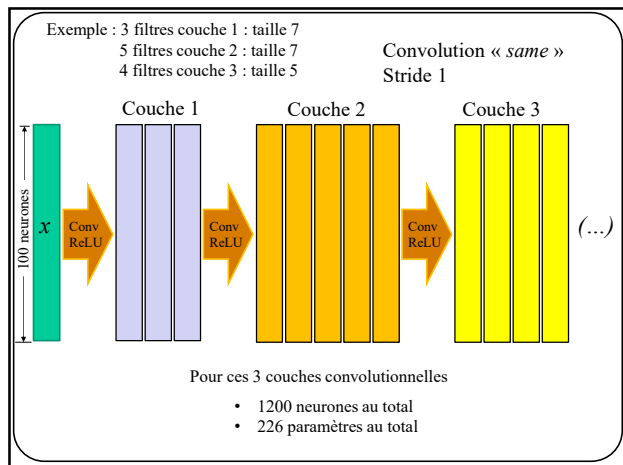
106

Tout comme un Perceptron
multi-couches, un réseau à
convolution contient **plusieurs
couches consécutives**

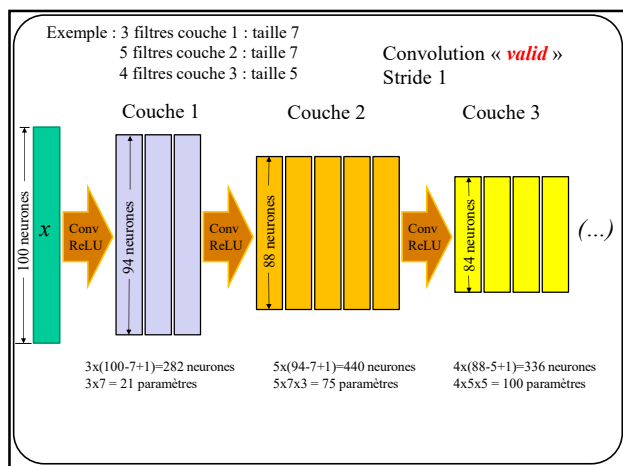
107



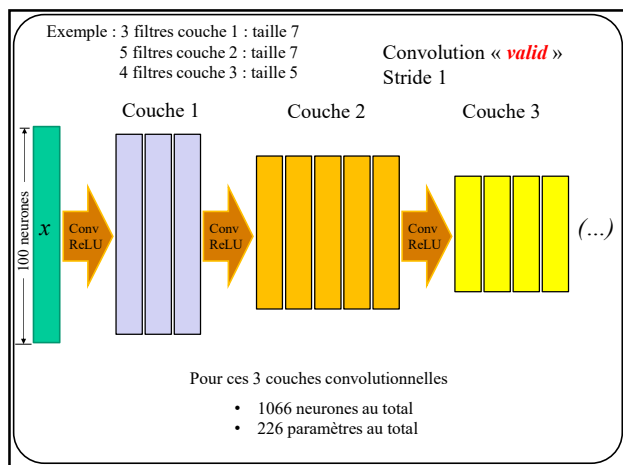
108



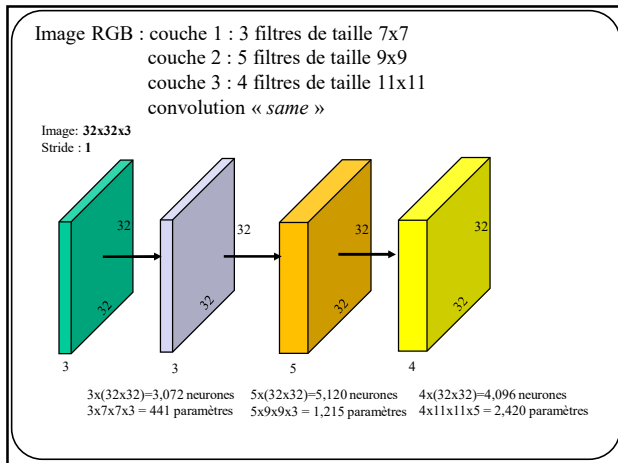
109



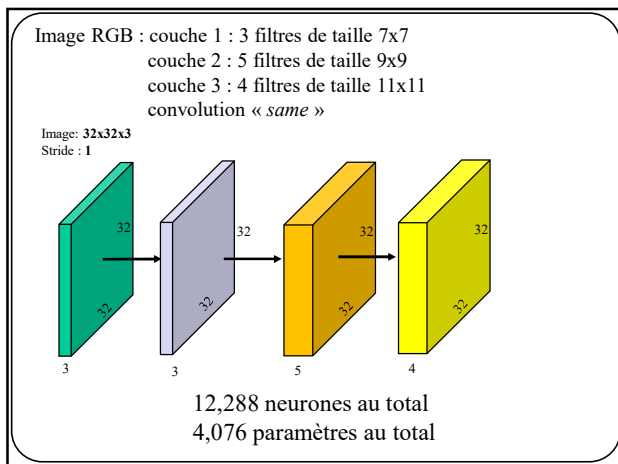
110



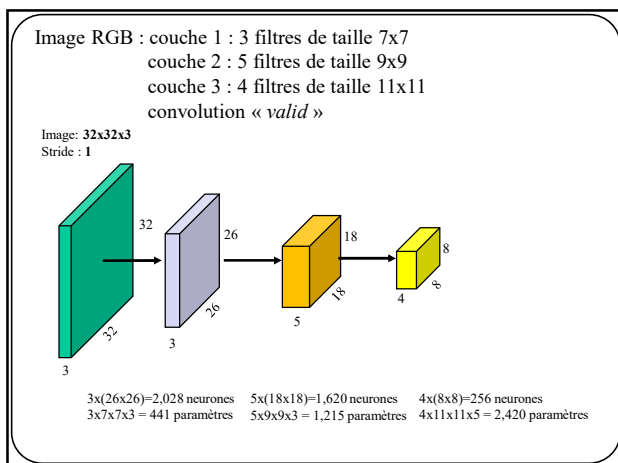
111



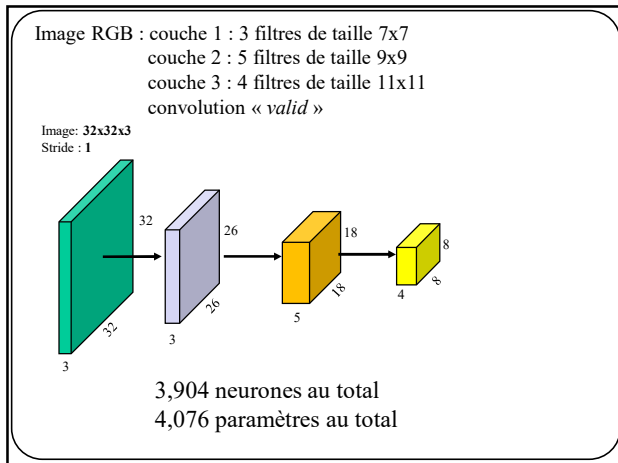
112



113



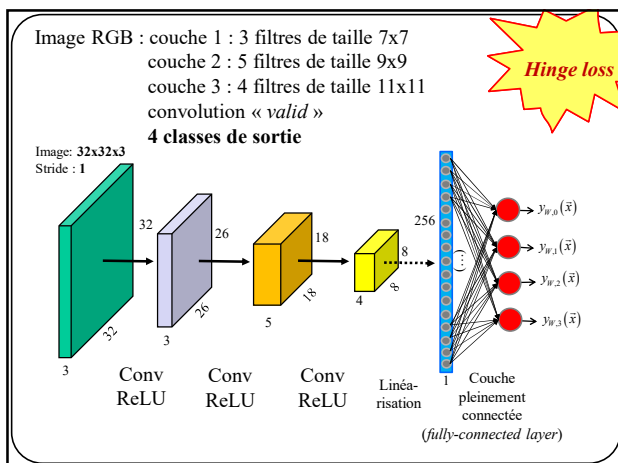
114



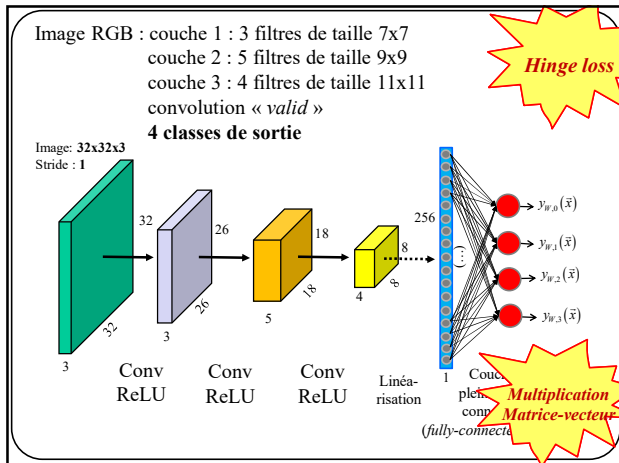
115

Tout comme un perceptron multi-couches, un réseau à convolution se termine par une **couche de sortie** avec **1 neurone par variable prédite**

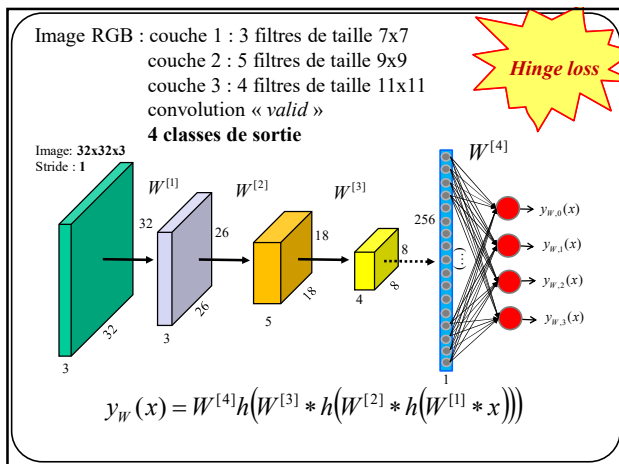
116



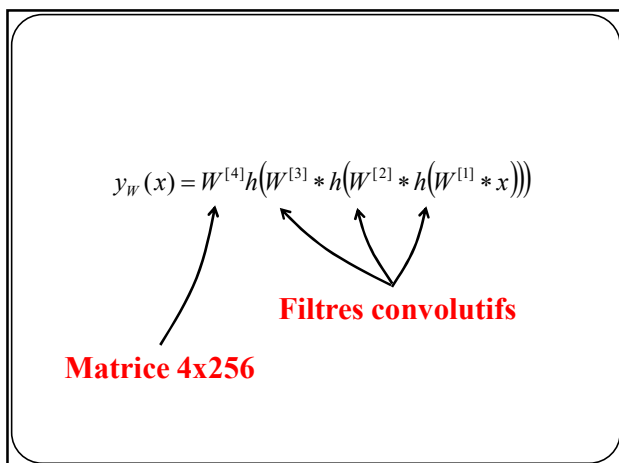
117



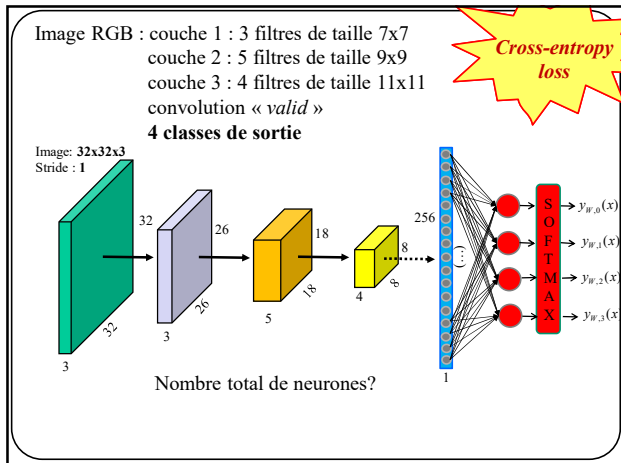
118



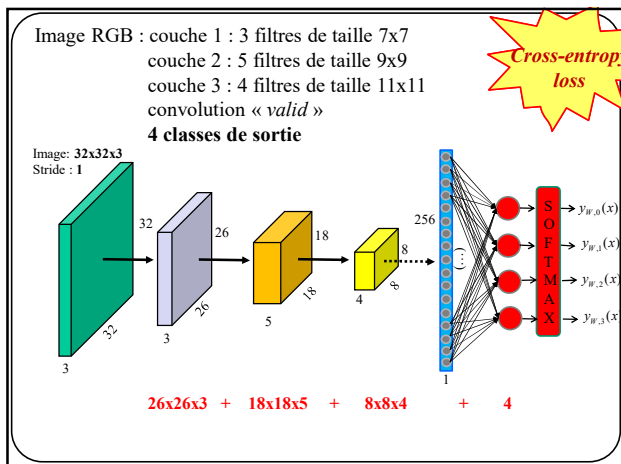
119



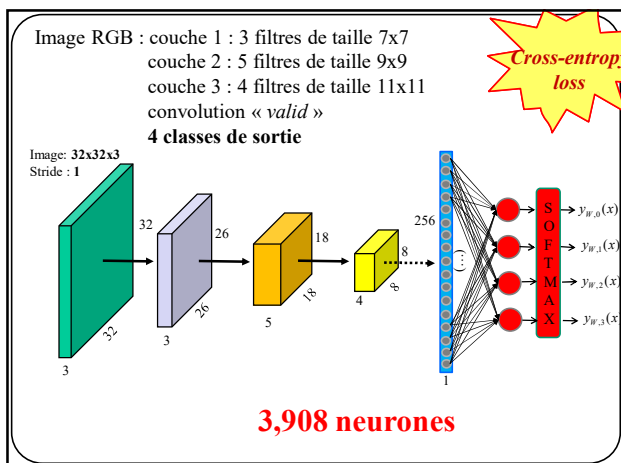
120



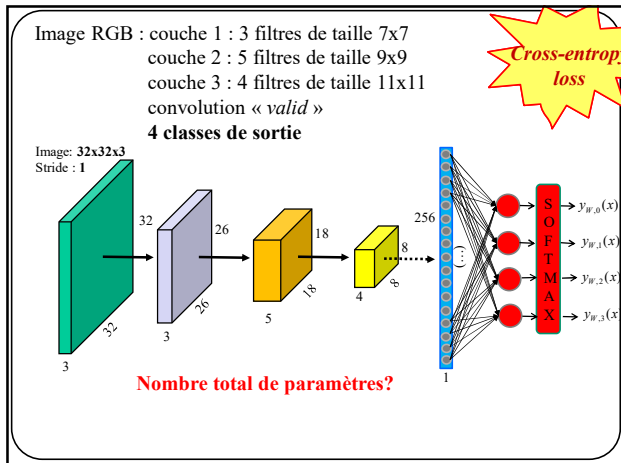
121



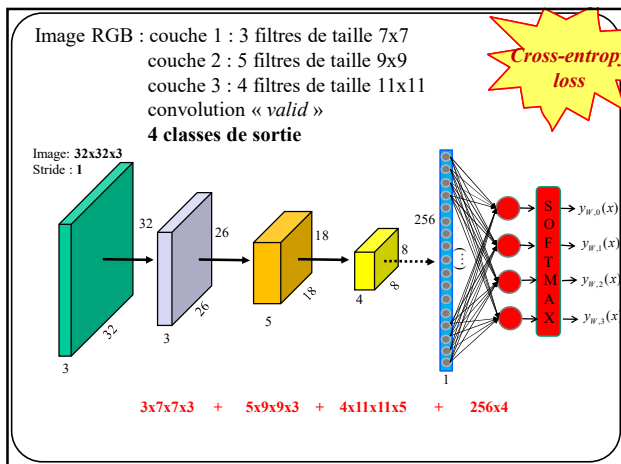
122



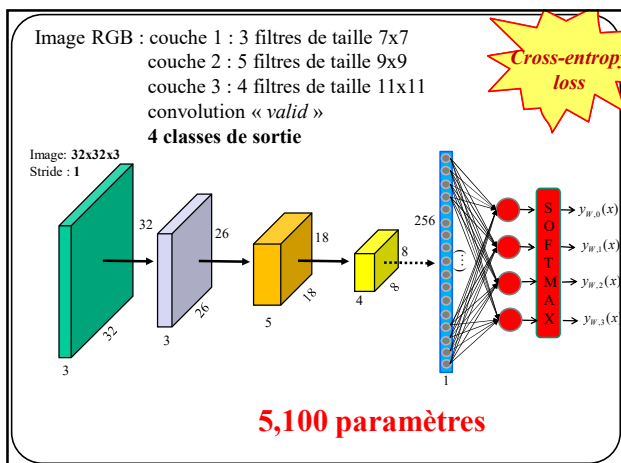
123



124



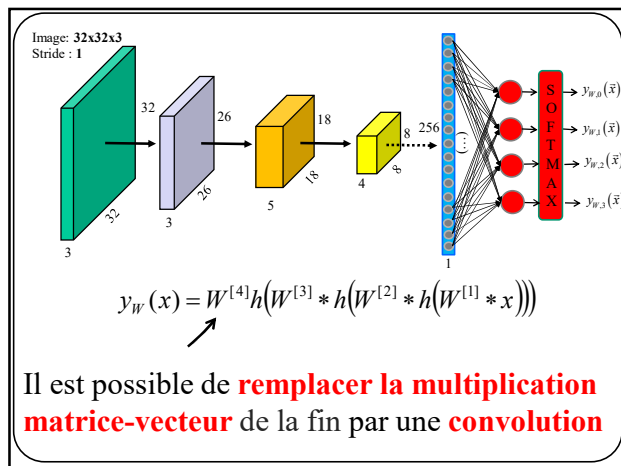
125



126

Réseaux à convolution vs Réseaux **pleinement** convolutifs

127



128

Exemple 1d

(convolution « valid »)

$$\begin{array}{|c|c|c|c|c|c|c|c|c|} \hline 40 & 50 & 70 & 80 & 90 & 10 & 20 & 30 & 40 \\ \hline \end{array} * \begin{array}{|c|c|c|} \hline .2 & -.3 & .4 \\ \hline \end{array} = \begin{array}{|c|c|c|c|c|c|c|} \hline 21 & 21 & 26 & -7 & 23 & 8 & 11 \\ \hline \end{array}$$

129

Exemple 1d
(convolution « valid »)

$\xrightarrow{9}$
 $\xleftarrow{5}$
 $\xleftarrow{5}$

40	50	70	80	90	10	20	30	40
----	----	----	----	----	----	----	----	----

 $*$

.2	-.3	.4	-.5	.6
----	-----	----	-----	----

 $=$

35	-18	33	1	32
----	-----	----	---	----

130

Exemple 1d
(convolution « valid »)

$\xrightarrow{9}$
 $\xleftarrow{7}$
 $\xleftarrow{3}$

40	50	70	80	90	10	20	30	40
----	----	----	----	----	----	----	----	----

 $*$

.2	-.3	.4	-.5	.6	-.7	.8
----	-----	----	-----	----	-----	----

 $=$

44	-8	44
----	----	----

131

Taille filtre = nb de neurones couche précédente

$\xrightarrow{9}$
 $\xleftarrow{9}$
 $\xleftarrow{1}$

40	50	70	80	90	10	20	30	40
----	----	----	----	----	----	----	----	----

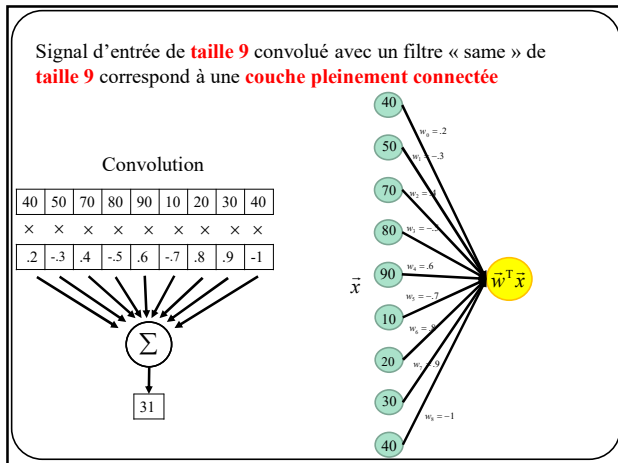
 $*$

.2	-.3	.4	-.5	.6	-.7	.8	.9	-1
----	-----	----	-----	----	-----	----	----	----

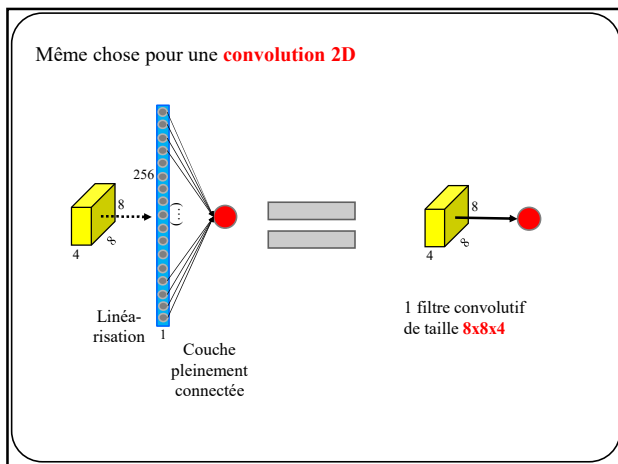
 $=$

31

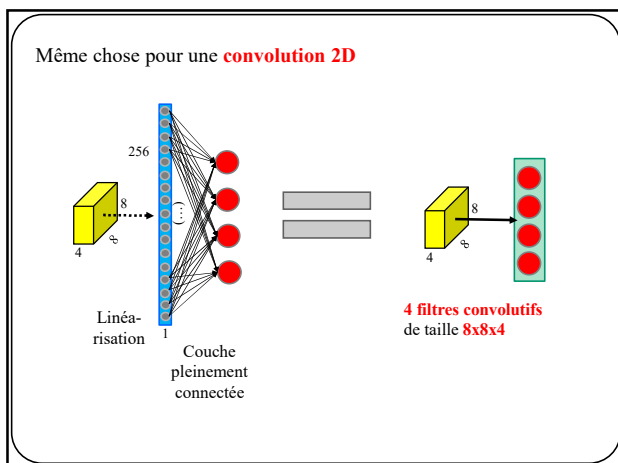
132



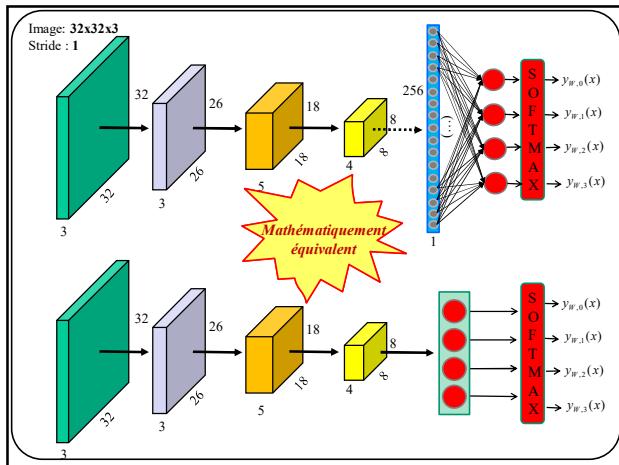
133



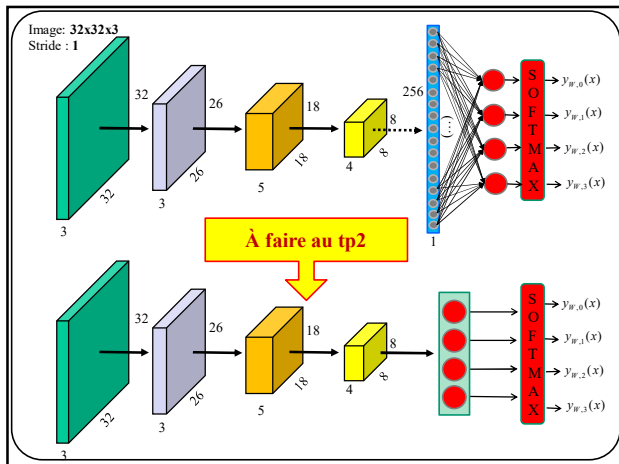
134



135



136



137

Configurations équivalentes

couche 1 : 3 filtres de taille 7x7	couche 1 : 3 filtres de taille 7x7
couche 2 : 5 filtres de taille 9x9	couche 2 : 5 filtres de taille 9x9
couche 3 : 4 filtres de taille 11x11	couche 3 : 4 filtres de taille 11x11
couche 4 : 4 filtres de taille 8x8	couche 4 : 4 filtres de taille 8x8
Softmax	Softmax

En fait, presque équivalent ...

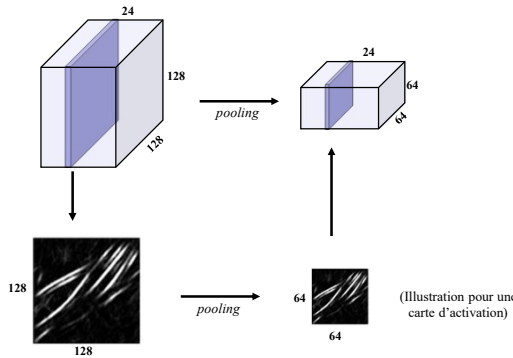
Question : qu'arrive-t-il si on remplace l'image 32x32x3 par une image 64x64x3?

138

Pooling

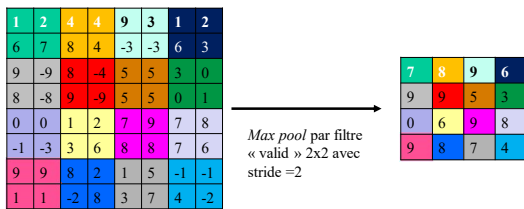
139

Réduction de la taille des cartes d'activation



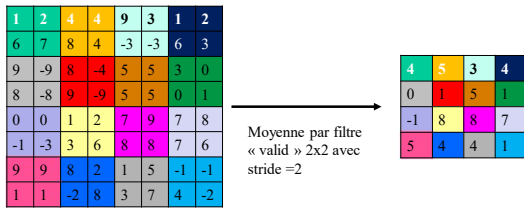
140

Max pooling



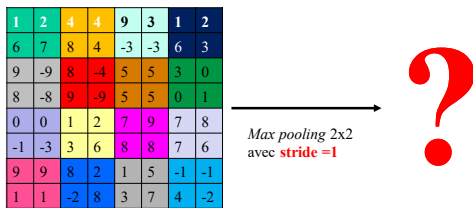
141

Mean pooling



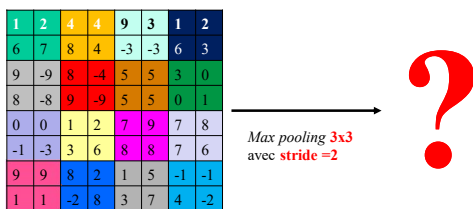
142

Max pooling



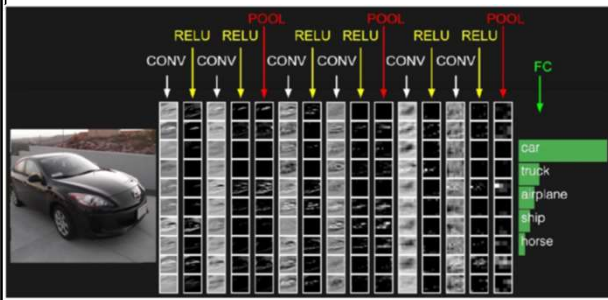
143

Max pooling



144

Illustration d'un CNN complet



Credit : cs231 Stanford

145

Multiplication matricielle parcimonieuse

<https://towardsdatascience.com/a-comprehensive-introduction-to-different-types-of-convolutions-in-deep-learning-669281e58215>

147

Il est **plus rapide** de multiplier des matrices que de les convoluer.

Ex.: convolution « valid », un canal d'entrée et une carte d'activation, filtre 3x3

Entrée					Filtre					
X0	X1	X2	X3		W0	W1	W2		Y1	Y2
X4	X5	X6	X7	*	W3	W4	W5	=	Y3	Y4
X8	X9	X10	X11		W6	W7	W8			
X12	X13	X14	X15							

148

Il est **plus rapide** de multiplier des matrices que de les convoluer.

Ex.: convolution « valid », un canal d'entrée et une carte d'activation, filtre 3x3

Entrée					Filtre					
X0	X1	X2	X3	*	W0	W1	W2	=	Y0	Y1
X4	X5	X6	X7		W3	W4	W5		Y2	Y3
X8	X9	X10	X11		W6	W7	W8			
X12	X13	X14	X15							

On peut **remplacer** une **convolution** par une **multiplication matrice-matrice** ou **matrice-vecteur**

en **linéarisant** le filtre et en « **matriciant** » l'entrée

149

Rappel

Ex.: convolution « valid », un canal d'entrée et une carte d'activation, filtre 3x3

W0	W1	W2	X3		Y0	Y1
W3	W4	W5	X7		Y2	Y3
W6	W7	W8	X11			
X12	X13	X14	X15			

$$Y0 = W0.X0 + W1.X1 + W2.X2 + W3.X4 + W4.X5 + W5.X6 + W6.X8 + W7.X9 + W8.X10$$

150

Rappel

Ex.: convolution « valid », un canal d'entrée et une carte d'activation, filtre 3x3

X0	W0	W1	W2		Y0	Y1
X4	W3	W4	W5		Y2	Y3
X8	W6	W7	W8			
X12	X13	X14	X15			

$$Y1 = W0.X1 + W1.X2 + W2.X3 + W3.X5 + W4.X6 + W5.X7 + W6.X9 + W7.X10 + W8.X11$$

151

Rappel

Ex.: convolution « valid », un canal d'entrée et une carte d'activation, filtre 3x3

X0	X1	X2	X3
W0	W1	W2	X7
W3	W4	W5	X11
W6	W7	W8	X15

Y0	Y1
Y2	Y3

$$Y2 = W0.X4 + W1.X5 + W2.X6 + W3.X8 + W4.X9 + W5.X10 + W6.X12 + W7.X13 + W8.X14$$

152

Rappel

Ex.: convolution « valid », un canal d'entrée et une carte d'activation, filtre 3x3

X0	X1	X2	X3
X4	W0	W1	W2
X8	W3	W4	W5
X12	W6	W7	W8

Y0	Y1
Y2	Y3

$$Y3 = W0.X5 + W1.X6 + W2.X7 + W3.X9 + W4.X10 + W5.X11 + W6.X13 + W7.X14 + W8.X15$$

153

Autrement dit...

W0	W1	W2	X3
W3	W4	W5	X7
W6	W7	W8	X11
X12	X13	X14	X15

X0
X1
X2
X4
X5
X6
X8
X9
X10

Y0

154

Autrement dit...

X0	W0	W1	W2
X4	W3	W4	W5
X8	W6	W7	W8
X12	X13	X14	X15

X0	X1
X1	X2
X2	X3
X4	X5
X5	X6
X6	X7
X8	X9
X9	X10
X10	X11

Y0	Y1
----	----

155

Autrement dit...

X0	X1	X2	X3
W0	W1	W2	X7
W3	W4	W5	X11
W6	W7	W8	X15

X0	X1	X4
X1	X2	X5
X2	X3	X6
X4	X5	X8
X5	X6	X9
X6	X7	X10
X8	X9	X11
X9	X10	X12
X10	X11	X13

Y0	Y1
Y2	

156

Autrement dit...

X0	X1	X2	X3
X4	W0	W1	W2
X8	W3	W4	W5
X12	W6	W7	W8

X0	X1	X4	X5
X1	X2	X5	X6
X2	X3	X6	X7
X4	X5	X8	X9
X5	X6	X9	X10
X6	X7	X10	X11
X8	X9	X11	X13
X9	X10	X12	X14
X10	X11	X13	X15

Y0	Y1
Y2	Y3

157

Convolution « valid » en **linéarisant le filtre** et en
« **matricant** » l'entrée

w0	w1	w2	w3	w4	w5	w6	w7	w8
----	----	----	----	----	----	----	----	----

x

x0	x1	x4	x5
x1	x2	x5	x6
x2	x3	x6	x7
x4	x5	x8	x9
x5	x6	x9	x10
x6	x7	x10	x11
x8	x9	x11	x13
x9	x10	x12	x14
x10	x11	x13	x15

=

y0	y1	y2	y3
----	----	----	----

158

Autre exemple
conv « valid », mini-batch de 2 entrées

2 données en entrée

x0	x1	x2	x3
x4	x5	x6	x7
x8	x9	x10	x11
x12	x13	x14	x15
x16	x17	x18	x19
x20	x21	x22	x23
x24	x25	x26	x27
x28	x29	x30	x31

*

Filtre

w0	w1	w2
w3	w4	w5
w6	w7	w8

=

y0	y1
y2	y3
y4	y5
y6	y7

159

Autre exemple
conv « valid », mini-batch de 2 entrées

w0	w1	w2	w3	w4	w5	w6	w7	w8
----	----	----	----	----	----	----	----	----

x

x16	x17	x20	x21
x0	x1	x4	x5
x1	x2	x5	x6
x2	x3	x6	x7
x4	x5	x8	x9
x5	x6	x9	x10
x6	x7	x10	x11
x8	x9	x11	x13
x9	x10	x12	x14
x10	x11	x13	x15

=

y0	y1	y2	y3
y4	y5	y6	y7

160

Autre exemple

conv « valid », une entrée, deux filtres

X0	X1	X2	X3
X4	X5	X6	X7
X8	X9	X10	X11
X12	X13	X14	X15

*

W0	W1	W2
W3	W4	W5
W6	W7	W8
W9	W10	W11
W12	W13	W14
W15	W16	W17

=

Y0	Y1
Y2	Y3
Y4	Y5
Y6	Y7

161

Autre exemple

conv « valid », une entrée, deux filtres

W0	W1	W2	W3	W4	W5	W6	W7	W8
W9	W10	W11	W12	W13	W14	W15	W16	W17

x

X0	X1	X4	X5
X1	X2	X5	X6
X2	X3	X6	X7
X4	X5	X8	X9
X5	X6	X9	X10
X6	X7	X10	X11
X8	X9	X11	X13
X9	X10	X12	X14
X10	X11	X13	X15

=

Y0	Y1	Y2	Y3
Y4	Y5	Y6	Y7

162

Autre exemple

conv « valid », une entrée avec deux canaux, un filtre

X0	X1	X2	X3
X4	X5	X6	X7
X8	X9	X10	X11
X12	X13	X14	X15
X16	X17	X18	X19
X20	X21	X22	X23
X24	X25	X26	X27
X28	X29	X30	X31

*

W0	W1	W2
W3	W4	W5
W6	W7	W8
W9	W10	W11
W12	W13	W14
W15	W16	W17

=

Y0	Y1
Y2	Y3

163

Autre exemple

conv « valid », une entrée avec deux canaux, un filtre

W0	W1	W2	W3	(...)	W5	W6	W7	W8	W9	W10	W11	W12	W13	W14	W15	W16	W17
----	----	----	----	-------	----	----	----	----	----	-----	-----	-----	-----	-----	-----	-----	-----

X

X0	X1	X4	X5
X1	X2	X5	X6
X2	X3	X6	X7
X4	X5	X8	X9
(...)	(...)	(...)	(...)
X22	X23	X26	X27
X24	X25	X27	X29
X25	X26	X28	X30
X26	X27	X29	X31

=

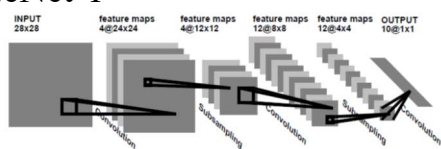
Y0	Y1	Y2	Y3
----	----	----	----

164

Exemples d'architectures connues

165

LeNet-1



INPUT 28x28

feature maps 4@24x24

feature maps 4@12x12

feature maps 12@8x8

feature maps 12@4x4

OUTPUT 10@1x1

Une des plus vieilles architectures faites pour la reconnaissance de caractères.

- Image d'entrée : 28x28x1
- Filtres convolutionnels : 5x5
- Conv « valid » + tanh
- 2 couches convolutionnelles (avec 4 et 12 filtres)
- 2 *average pooling*
- 1 couche pleinement connectée
- 10 classes

Input

CONV

POOL

CONV

POOL

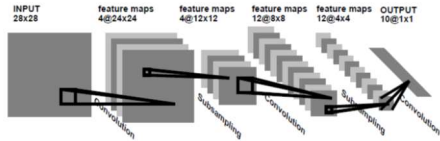
FC

SOFTMAX

LeCun, Y.; Boser, B.; Denker, J. S.; Henderson, D.; Howard, R. E.; Hubbard, W. & Jackel, L. D. (1989). Backpropagation applied to handwritten zip code recognition. Neural Computation, 1(4):541-551

166

LeNet-1



Une des plus vieilles architectures faites pour la reconnaissance de caractères.

- Image d'entrée : 28x28x1
- Filtres convolutionnels : 5x5
- Conv « valid » + tanh
- 2 couches convolutionnelles (avec 4 et 12 filtres)
- 2 *average pooling*
- 1 couche pleinement connectée
- 10 classes

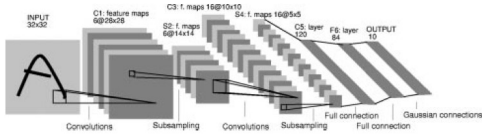
Input
CONV
POOL
CONV
POOL
FC
SOFTMAX

Combien de neurones?
Combien de paramètres?

LeCun, Y.; Boser, B.; Denker, J. S.; Henderson, D.; Howard, R. E.; Hubbard, W. & Jackel, L. D. (1989). Backpropagation applied to handwritten zip code recognition. *Neural Computation*, 1(4):541-551

167

LeNet-5



Version améliorée:

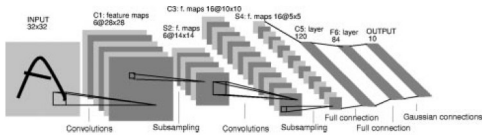
- Image d'entrée : 28x28x1
- Filtres convolutionnels : 5x5
- Conv « valid » + tanh
- 2 couches convolutionnelles (avec 6 et 16 filtres)
- 2 *average pooling*
- 3 couches pleinement connectées (120, 84 et 10 neurones)
- 10 classes

Input
CONV
POOL
CONV
POOL
FC
FC
FC
SOFTMAX

LeCun, Y.; Bottou, L.; Bengio, Y. & Haffner, P. (1998). Gradient-based learning applied to document recognition. *Proceedings of the IEEE*, 86(11):2278 - 232

168

LeNet-5



Version améliorée:

- Image d'entrée : 28x28x1
- Filtres convolutionnels : 5x5
- Conv « valid » + tanh
- 2 couches convolutionnelles (avec 6 et 16 filtres)
- 2 *average pooling*
- 3 couches pleinement connectées (120, 84 et 10 neurones)
- 10 classes

Input
CONV
POOL
CONV
POOL
FC
FC
FC
SOFTMAX

Combien de neurones?
Combien de paramètres?

169

Classification d'images

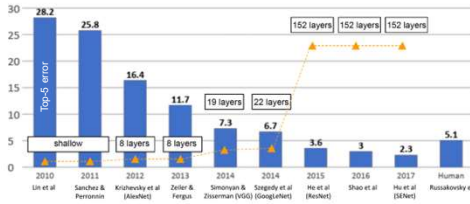
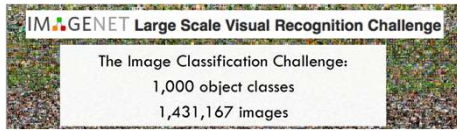


Image: <http://cs231n.stanford.edu/slides/2018>

170

170

Classification d'images

AlexNet [Krizhevsky et al, 2012]

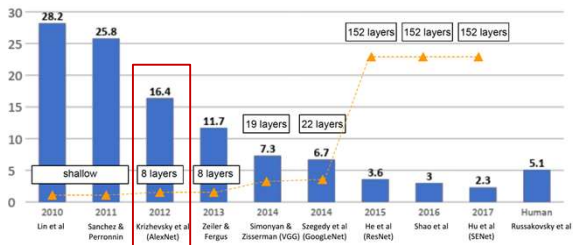
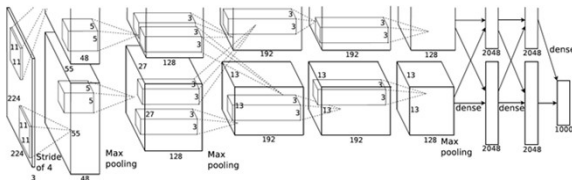


Image: <http://cs231n.stanford.edu/slides/2018>

171

171

AlexNet



- Premier CNN à bien performer sur ImageNet (amélioration de 10% par rapport aux autres)
- Utilisation de techniques aujourd'hui fréquemment utilisées: **ReLU**, **data augmentation** and **dropout**
- Utilisation de **GPUs** (2 dans leur cas)
- Point de départ de la **révolution du "deep learning"** en vision par ordinateur

Image: Krizhevsky et al. "Imagenet classification with deep convolutional neural networks," NIPS 2012.

172

CONV1
MAX POOL1
NORM1
CONV2
MAX POOL2
NORM2
CONV3
CONV4
CONV5
Max POOL3
FC6
FC7
FC8

Réponse: $(227-11)/4+1 = 55$

[illegible]

CONV1
MAX POOL1
NORM1
CONV2
MAX POOL2
NORM2
CONV3
CONV4
CONV5
Max POOL3
FC6
FC7
FC8

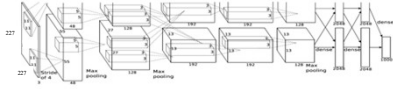
Q: Quel est le nombre de paramètres?

[illegible]

CONV1
MAX POOL1
NORM1
CONV2
MAX POOL2
NORM2
CONV3
CONV4
CONV5
Max POOL3
FC6
FC7
FC8

Paramètres : $11 \times 11 \times 96 \times 3 = 34,848$

AlexNet



ENTRÉE : 227x227x3
CONV1: 96 x 55 x 55

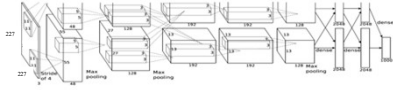
Couche 2 MaxPool : 3x3 stride stride 2

Quelle est la taille des cartes d'activation?

Réponse: $(55-3)/2+1 = 27$

176

AlexNet



ENTRÉE : 227x227x3
CONV1: 96 x 55 x 55

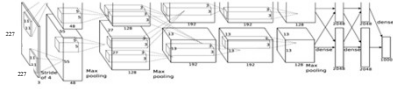
Couche 2 MaxPool : 3x3 stride stride 2
 27 x 27 x 96

Combien y a-t-il de paramètres?

Réponse: 0!

177

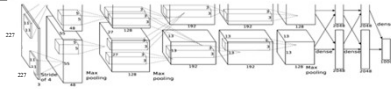
AlexNet



ENTRÉE : 227x227x3
CONV1: 55 x 55 x 96
MAX POOL1: 27 x 27 x 96
 ...

178

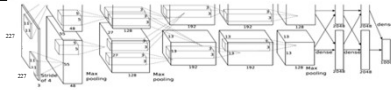
AlexNet



ENTRÉE 227 x 227 x 3
 96 filtres 11x11, stride 4, pad 0, **CONV1** 55 x 55 x 96
 filtre 3x3, stride 2, **MAX POOL1** 27 x 27 x 96
 normalisation par couche, **NORM1** 27 x 27 x 96
 256 filtres 5x5, stride 1, pad 2, **CONV2** 27 x 27 x 256
 filtre 3x3, stride 2, **MAX POOL2** 13 x 13 x 256
 normalisation par couche, **NORM2** 13 x 13 x 256
 384 filtres 3x3, stride 1, pad 1, **CONV3** 13 x 13 x 384
 384 filtres 3x3, stride 1, pad 1, **CONV4** 13 x 13 x 384
 256 filtres 3x3, stride 1, pad 1, **CONV5** 13 x 13 x 256
 filtre 3x3, stride 2, **MAX POOL3** 6 x 6 x 256
FC6 4096
FC7 4096
FC8 1000

179

AlexNet



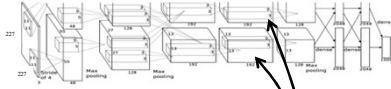
ENTRÉE 227 x 227 x 3
CONV1 55 x 55 x 96
MAX POOL1 27 x 27 x 96
NORM1 27 x 27 x 96
CONV2 27 x 27 x 256
MAX POOL2 13 x 13 x 256
NORM2 13 x 13 x 256
CONV3 13 x 13 x 384
CONV4 13 x 13 x 384
CONV5 13 x 13 x 256
MAX POOL3 6 x 6 x 256
FC6 4096
FC7 4096
FC8 1000

Notes additionnelles:

Fonction d'activation **ReLU**
Augmentation de données
LayerNorm : peu utilisé aujourd'hui
Dropout 0.5
Batch_size 128
SGD + momentum
Taux d'apprentissage 0.01 avec
 réduction par plateau d'un facteur 10
~68 millions de paramètres

180

AlexNet



ENTRÉE 227 x 227 x 3
CONV1 55 x 55 x 96
MAX POOL1 27 x 27 x 96
NORM1 27 x 27 x 96
CONV2 27 x 27 x 256
MAX POOL2 13 x 13 x 256
NORM2 13 x 13 x 256
CONV3 13 x 13 x 384
CONV4 13 x 13 x 384
CONV5 13 x 13 x 256
MAX POOL3 6 x 6 x 256
FC6 4096
FC7 4096
FC8 1000

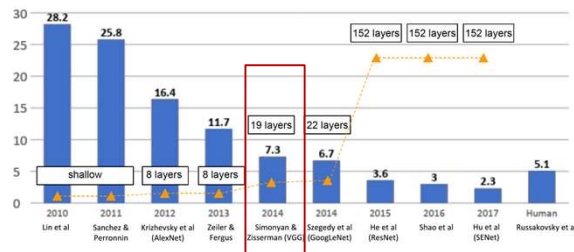
Notes additionnelles:

Utilisation de **2 GPUs**
Fait voter un ensemble de 7 CNN:
 18.2% -> 15.4

181

Classification d'images

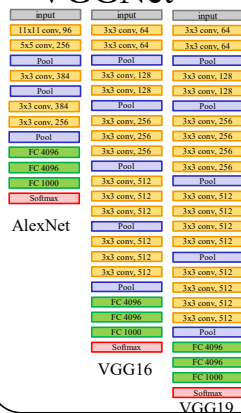
VGGNet [Simonyan and Zisserman, 2014]



Karen Simonyan, Andrew Zisserman "Very Deep Convolutional Networks for Large-Scale Image Recognition", ICLR 2015
Image: <http://cs231n.stanford.edu/slides/2018>

182

VGGNet



Ce qui caractérise VGGNet par rapport à ses prédécesseurs:

- Uniquement des **filtres 3x3, stride 1, pad 1**
- **Plus profond**

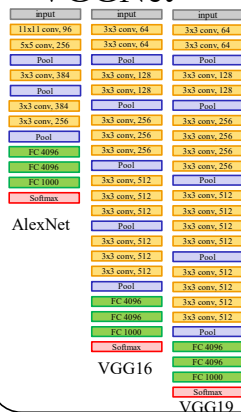
AlexNet : 8 couches

VGGNet : 16 ou 19 couches

7.3% d'erreur contre 11.7% pour ZFNet

183

VGGNet

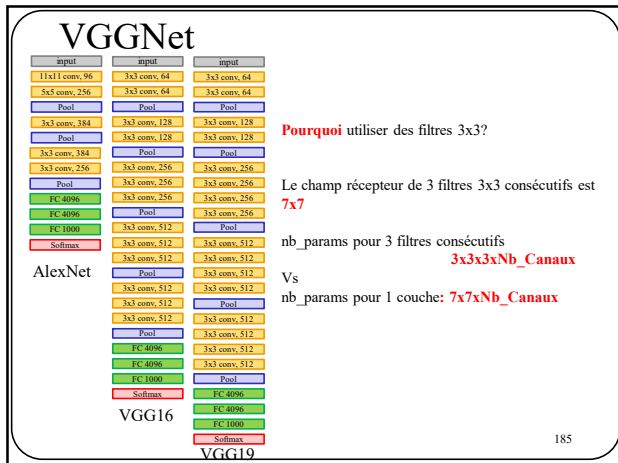


Pourquoi utiliser des filtres 3x3?

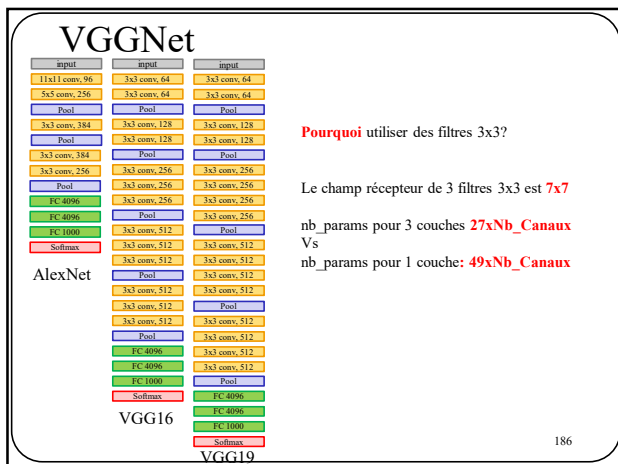
Indice1 : quel est le **champ récepteur** (*receptive field*) d'une série de 3 couches 3x3?

Indice2 : combien de paramètres pour ces 3 couches?

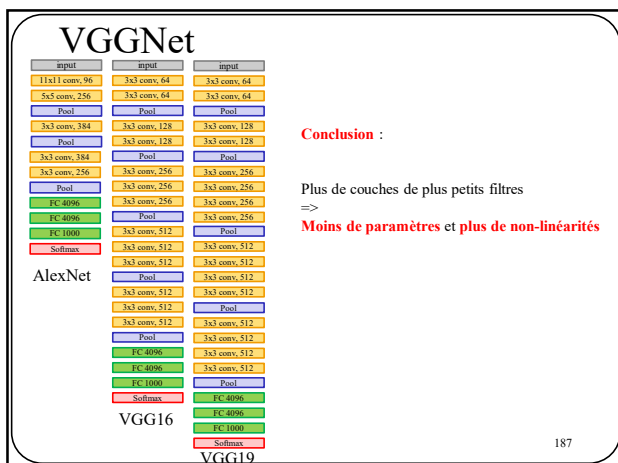
184



185



186



187

VGG16

ENTRÉE

CONV-3x3-64

CONV-3x3-64

POOL-2x2

CONV-3x3-128

CONV-3x3-128

POOL-2x2

CONV-3x3-256

CONV-3x3-256

CONV-3x3-256

POOL-2x2

CONV-3x3-512

CONV-3x3-512

CONV-3x3-512

POOL-2x2

CONV-3x3-512

CONV-3x3-512

CONV-3x3-512

POOL-2x2

FC-4096

FC-4096

FC-4096

Combien de paramètres?

Combien de neurones?

input

3x3 conv, 64

3x3 conv, 64

Pool

3x3 conv, 128

3x3 conv, 128

Pool

3x3 conv, 256

3x3 conv, 256

3x3 conv, 256

Pool

3x3 conv, 512

3x3 conv, 512

3x3 conv, 512

Pool

3x3 conv, 512

3x3 conv, 512

3x3 conv, 512

Pool

FC 4096

FC 4096

FC 1000

Softmax

VGG16

188

188

VGG16

Cartes d'activation

ENTRÉE

CONV-3x3-64

CONV-3x3-64

POOL-2x2

CONV-3x3-128

CONV-3x3-128

POOL-2x2

CONV-3x3-256

CONV-3x3-256

CONV-3x3-256

POOL-2x2

CONV-3x3-512

CONV-3x3-512

CONV-3x3-512

POOL-2x2

CONV-3x3-512

CONV-3x3-512

CONV-3x3-512

POOL-2x2

FC-4096

FC-4096

FC-4096

[224x224x3]

[224x224x64]

[224x224x64]

[112x112x64]

[112x112x128]

[112x112x128]

[56x56x128]

[56x56x256]

[56x56x256]

[56x56x256]

[28x28x256]

[28x28x512]

[28x28x512]

[28x28x512]

[14x14x512]

[14x14x512]

[14x14x512]

[14x14x512]

[7x7x512]

[1x1x4096]

[1x1x4096]

[1x1x1000]

input

3x3 conv, 64

3x3 conv, 64

Pool

3x3 conv, 128

3x3 conv, 128

Pool

3x3 conv, 256

3x3 conv, 256

3x3 conv, 256

Pool

3x3 conv, 512

3x3 conv, 512

3x3 conv, 512

Pool

3x3 conv, 512

3x3 conv, 512

3x3 conv, 512

Pool

FC 4096

FC 4096

FC 1000

Softmax

VGG16

189

189

VGG16

Cartes d'activation

Nb Neurones

ENTRÉE

CONV-3x3-64

CONV-3x3-64

POOL-2x2

CONV-3x3-128

CONV-3x3-128

POOL-2x2

CONV-3x3-256

CONV-3x3-256

CONV-3x3-256

POOL-2x2

CONV-3x3-512

CONV-3x3-512

CONV-3x3-512

POOL-2x2

CONV-3x3-512

CONV-3x3-512

CONV-3x3-512

POOL-2x2

FC-4096

FC-4096

FC-4096

[224x224x3]

[224x224x64]

[224x224x64]

[112x112x64]

[112x112x128]

[112x112x128]

[56x56x128]

[56x56x256]

[56x56x256]

[56x56x256]

[28x28x256]

[28x28x512]

[28x28x512]

[28x28x512]

[14x14x512]

[14x14x512]

[14x14x512]

[14x14x512]

[7x7x512]

[1x1x4096]

[1x1x4096]

[1x1x1000]

150 K

3.2 M

3.2 M

800 k

1.6 M

1.6 M

400 K

800 K

800 K

800 K

200 K

400 K

400 K

400 K

100 K

100 K

100 K

100 K

25 K

4094

4096

1000

input

3x3 conv, 64

3x3 conv, 64

Pool

3x3 conv, 128

3x3 conv, 128

Pool

3x3 conv, 256

3x3 conv, 256

3x3 conv, 256

Pool

3x3 conv, 512

3x3 conv, 512

3x3 conv, 512

Pool

3x3 conv, 512

3x3 conv, 512

3x3 conv, 512

Pool

FC 4096

FC 4096

FC 1000

Softmax

VGG16

190

190

63

VGG16	Cartes d'activation	Nb Neurones	Nb Paramètres	
ENTRÉE	[224x224x3]	150 K	0	input
CONV-3x3-64	[224x224x64]	3.2 M	$(3*3*3)*64 = 1,728$	3x3 conv, 64
CONV-3x3-64	[224x224x64]	3.2 M	$(3*3*64)*64 = 36,864$	3x3 conv, 64
POOL-2x2	[112x112x64]	800 k	0	Pool
CONV-3x3-128	[112x112x128]	1.6 M	$(3*3*64)*128 = 73,728$	3x3 conv, 128
CONV-3x3-128	[112x112x128]	1.6 M	$(3*3*128)*128 = 147,456$	3x3 conv, 128
POOL-2x2	[56x56x128]	400 K	0	Pool
CONV-3x3-256	[56x56x256]	800 K	$(3*3*128)*256 = 294,912$	3x3 conv, 256
CONV-3x3-256	[56x56x256]	800 K	$(3*3*256)*256 = 589,824$	3x3 conv, 256
CONV-3x3-256	[56x56x256]	800 K	$(3*3*256)*256 = 589,824$	3x3 conv, 256
POOL-2x2	[28x28x256]	200 K	0	Pool
CONV-3x3-512	[28x28x512]	400 K	$(3*3*256)*512 = 1,179,648$	3x3 conv, 512
CONV-3x3-512	[28x28x512]	400 K	$(3*3*512)*512 = 2,359,296$	3x3 conv, 512
CONV-3x3-512	[28x28x512]	400 K	$(3*3*512)*512 = 2,359,296$	3x3 conv, 512
POOL-2x2	[14x14x512]	100 K	0	Pool
CONV-3x3-512	[14x14x512]	100 K	$(3*3*512)*512 = 2,359,296$	3x3 conv, 512
CONV-3x3-512	[14x14x512]	100 K	$(3*3*512)*512 = 2,359,296$	3x3 conv, 512
CONV-3x3-512	[14x14x512]	100 K	$(3*3*512)*512 = 2,359,296$	3x3 conv, 512
POOL-2x2	[7x7x512]	25 K	0	Pool
FC-4096	[1x1x4096]	4094	$7*7*512*4096 = 102,760,448$	FC 4096
FC-4096	[1x1x4096]	4096	$4096*4096 = 16,777,216$	FC 4096
FC-4096	[1x1x1000]	1000	$4096*1000 = 4,096,000$	FC 1000
				Softmax
				VGG16
				191

191

VGGNet	
Nb neurones totaux : ~15 M	
Mémoire totale neurones (4 octets par neurones) : ~60 Mo	
Nb paramètres totaux : 138 M	
Mémoire total paramètres (4 octets par paramètres) : 552 Mo	
~ 612 Mo pour la propagation avant d'une image	
	input
	3x3 conv, 64
	3x3 conv, 64
	Pool
	3x3 conv, 128
	3x3 conv, 128
	Pool
	3x3 conv, 256
	3x3 conv, 256
	3x3 conv, 256
	Pool
	3x3 conv, 512
	3x3 conv, 512
	3x3 conv, 512
	Pool
	3x3 conv, 512
	3x3 conv, 512
	3x3 conv, 512
	Pool
	FC 4096
	FC 4096
	FC 1000
	Softmax
	VGG16
	192

192

VGGNet	
Nb neurones totaux : ~15 M	
Mémoire totale neurones (4 octets par neurones) : ~60 Mo	
Nb paramètres totaux : ~138 M	
Mémoire total paramètres (4 octets par paramètres) : ~552 Mo	
~612 Mo pour la propagation avant d'une image	
>1.1 Go si on inclut la rétro-propagation	
	input
	3x3 conv, 64
	3x3 conv, 64
	Pool
	3x3 conv, 128
	3x3 conv, 128
	Pool
	3x3 conv, 256
	3x3 conv, 256
	3x3 conv, 256
	Pool
	3x3 conv, 512
	3x3 conv, 512
	3x3 conv, 512
	Pool
	3x3 conv, 512
	3x3 conv, 512
	3x3 conv, 512
	Pool
	FC 4096
	FC 4096
	FC 1000
	Softmax
	VGG16
	193

193